

2019 год

итоги

**Федеральное государственное
бюджетное учреждение науки
ИНСТИТУТ ХИМИИ ТВЕРДОГО ТЕЛА
Уральского отделения
Российской академии наук**



ПРОГРАММА “НАУКА”



ИНСТИТУТ
ХИМИИ ТВЕРДОГО ТЕЛА
УрО РАН

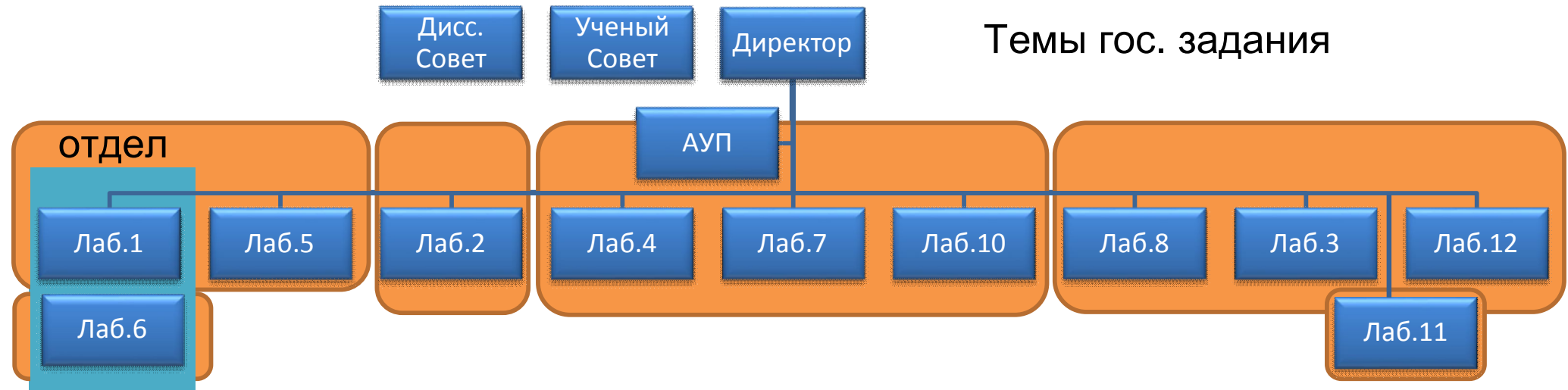
- | | |
|--|---|
| 1. Две молодежные лаборатории; | 100% |
| 2. Обновление парка научного оборудования; | 100% |
| 3. Капитальный ремонт лабораторий; | 100% |
| 4. Число публикаций (WOS, Scopus); | ~100% |
| 5. Число положительных решений на изобретение; | 127% |
| 6. Внебюджетные доходы; | 75% |
| 7. Выполнение майских указов Президента. | (с учетом гранта на оборудование -100%)
197%
(с учетом РФФИ – 202%) |

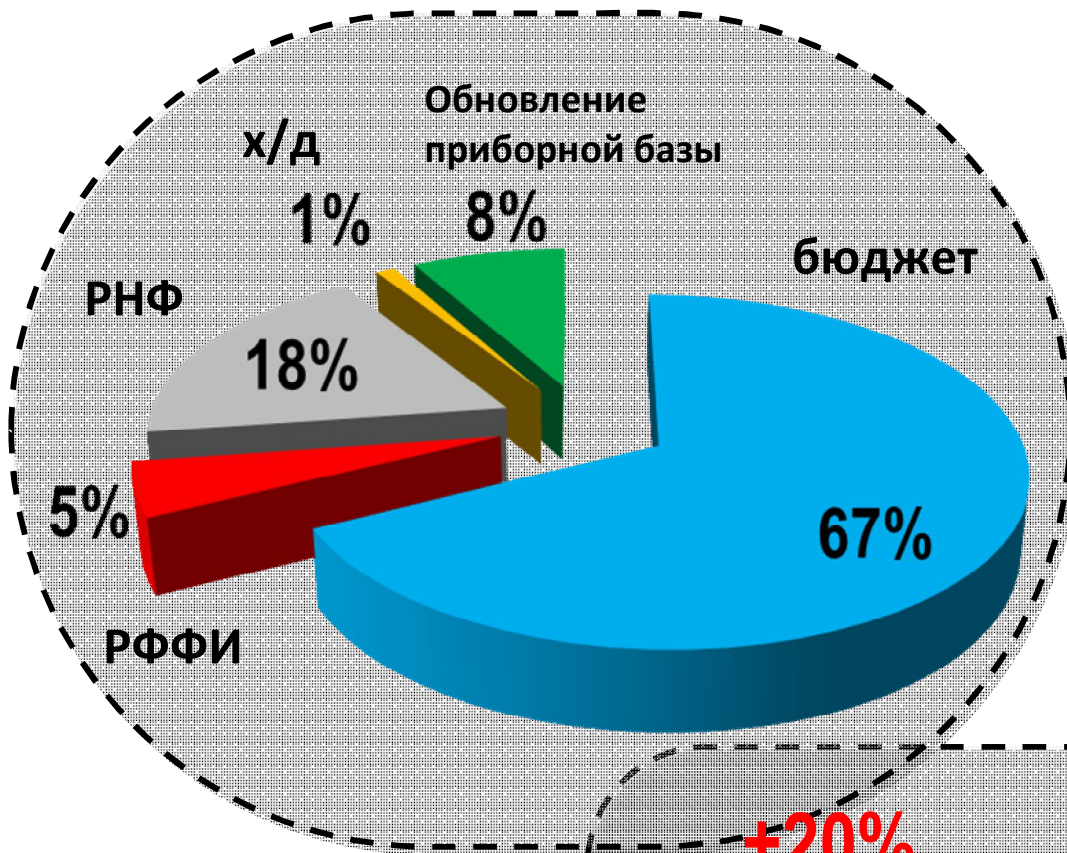
СТРУКТУРА ИНСТИТУТА



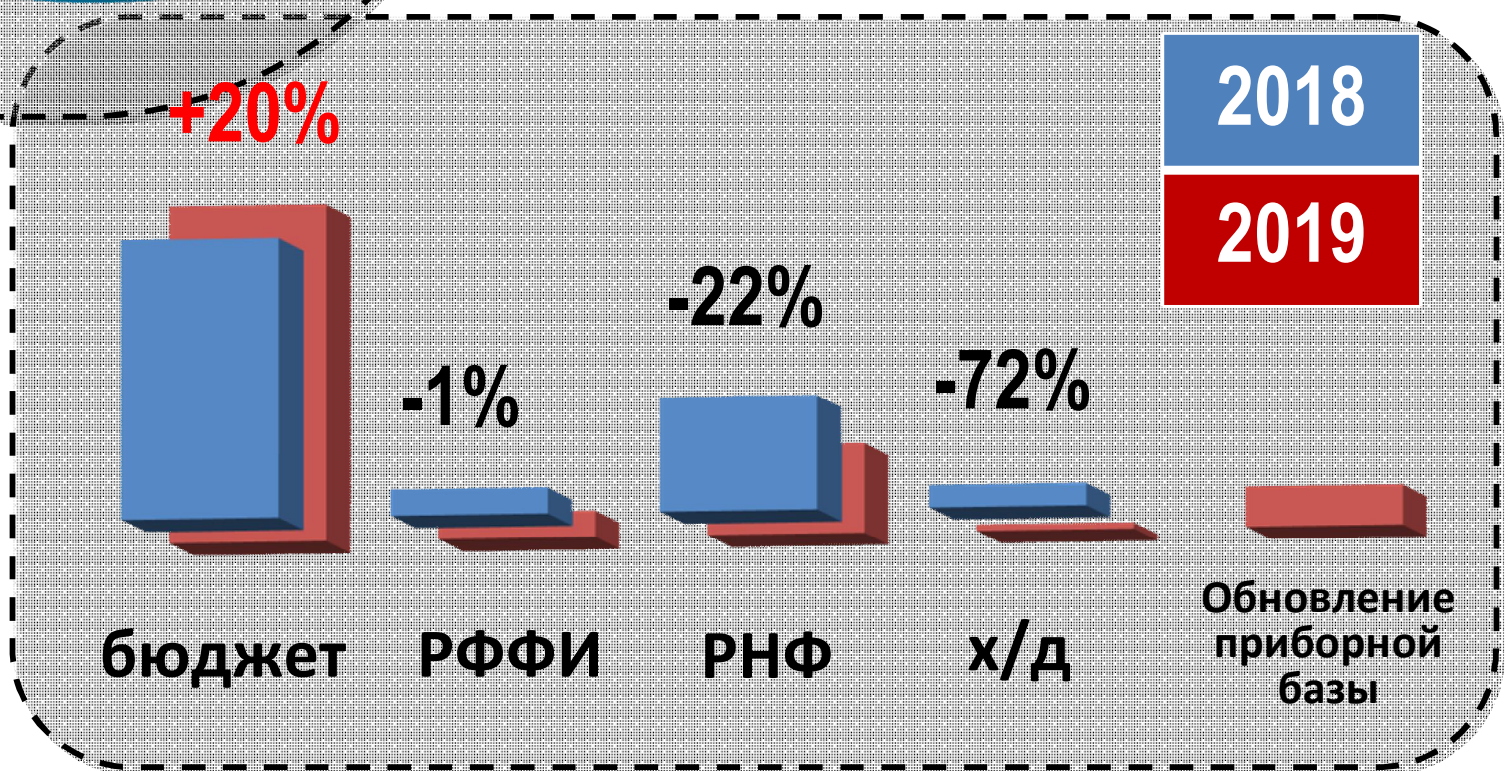
ИНСТИТУТ
ХИМИИ ТВЕРДОГО ТЕЛА
УрО РАН

2019 г.





Структура финансирования

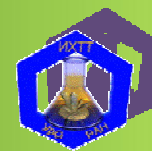




**ВАЖНЕЙШИЕ
РЕЗУЛЬТАТЫ**

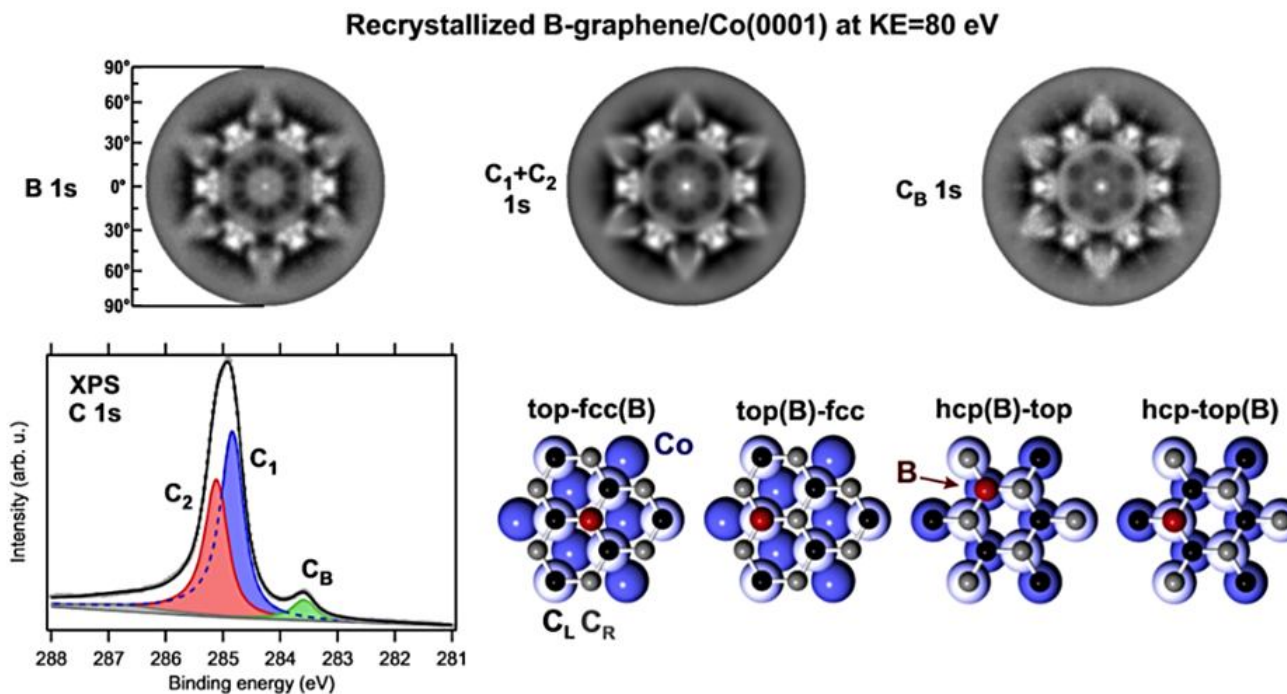
2019

Фотоэлектронная голограмия: метод восстановления структуры интерфейсов, поверхностей и 2D материалов



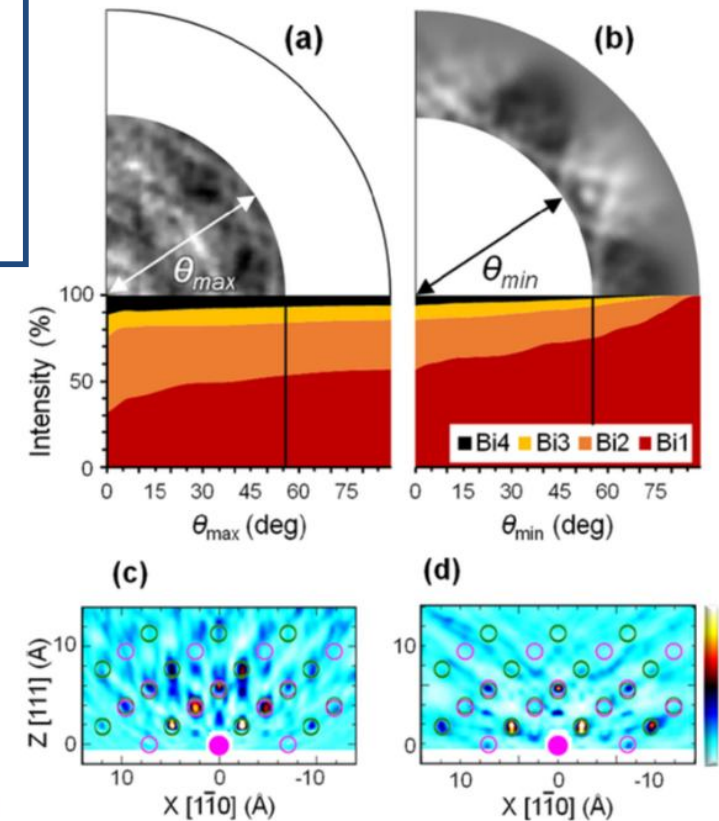
ИНСТИТУТ
ХИМИИ ТВЕРДОГО ТЕЛА
УрО РАН

Сотрудниками ИХТТ анализируются дальнейшие возможности и развиваются стандарты использования метода фотоэлектронной дифракции и голограмии, как общего метода для структурного анализа как совершенных, так и дефектных 2D кристаллов, интерфейсов и поверхностей с высоким пространственным разрешением.
Работа апробирована исследователями из МГУ, СПбГУ и Японии.



Картинки рентгеновской фотоэлектронной дифракции и спектра B1s и C1s состояний для системы В-допированного графена, находящемся на поверхности Co (0001), позволили установить атомистическое строение их интерфейса с помощью развивающегося метода фотоэлектронной голограмии

2D Materials, 6, 045046 (2019)



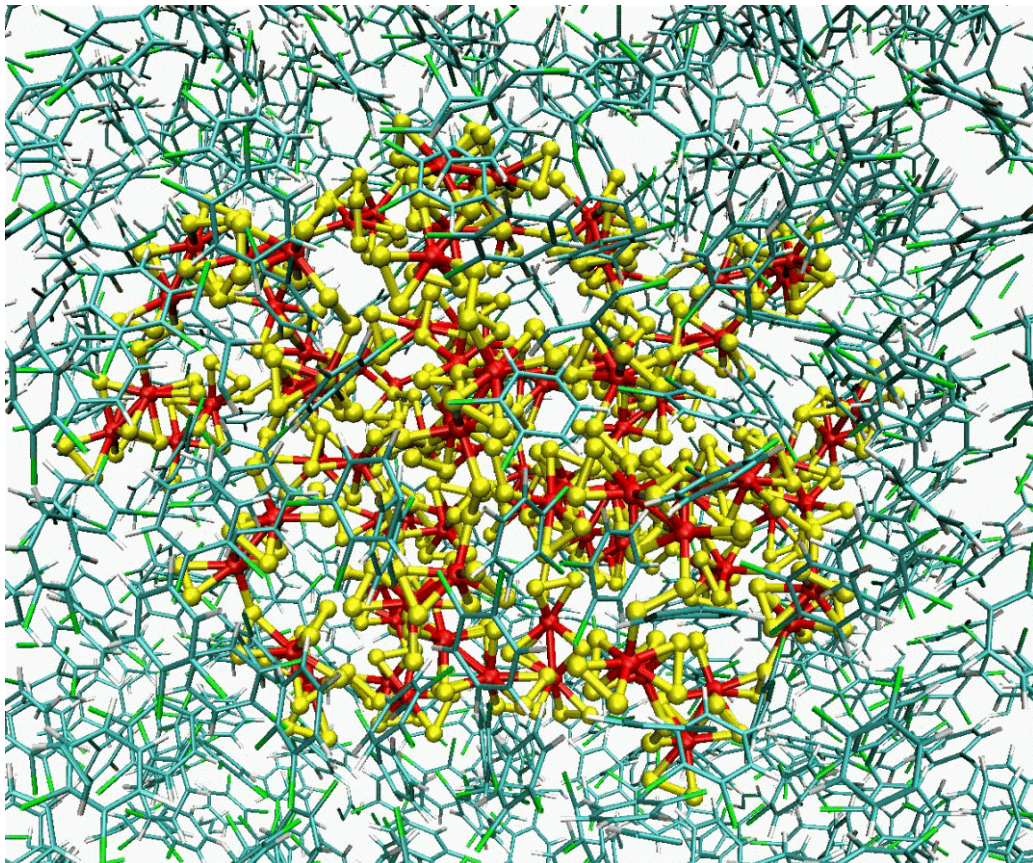
Анализ теоретически смоделированной фотоэлектронной эмиссии от разных атомов Bi в составе слоя Bi₂Se₃ и реконструированной на её основе голограммы указал на возможные пути повышения чувствительности метода для реконструирования реальных 2D материалов и поверхностей

Appl. Surf. Sci., 6, 045046 (2019)

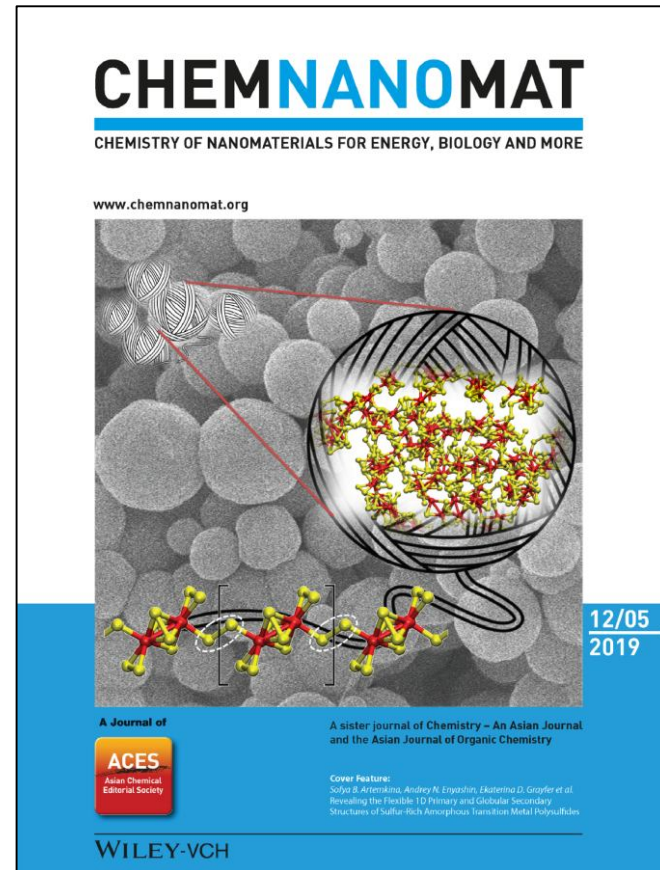
Пентасульфид MoS_5 : перспективный катодный материал для литий-ионных источников тока

Известные с 1980-х г.г. аморфные полисульфиды d-металлов ныне рассматриваются, как перспективные соединения для создания новых катодных материалов с высокой ёмкостью и функциональностью.

С помощью квантовохимического моделирования в ИХТТ УрО РАН впервые расшифрована первичная и вторичная организация аморфной структуры пентасульфидов MoS_5 и WS_5 , как неорганических высокомолекулярных соединений. Соединения синтезированы в ИНХ СО РАН и электрохимически аттестованы в Женском университете Ихва (Сеул).

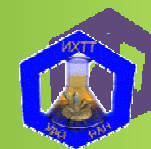


Квантовохимическая молекулярная динамика глобулы MoS_5 в кипящем дихлорбензоле подтверждает химическую и конформационную устойчивость теоретически предсказываемой организации этого соединения



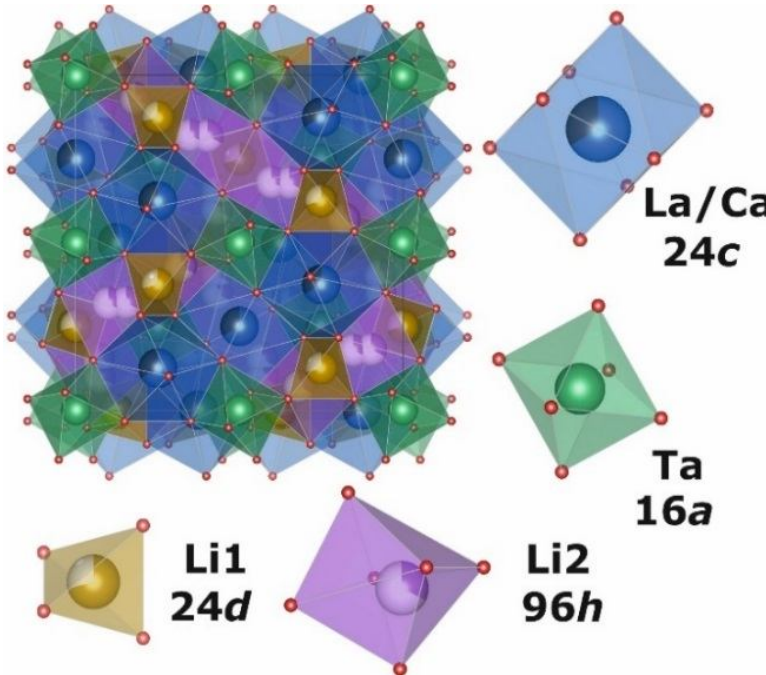
Обложка **декабрьского номера ChemNanoMat** с СЭМ изображением глобулярной микроструктуры и теоретическими моделями первичной и вторичной организации аморфного MoS_5

Высокоэффективное семейство люминофоров на основе литиевых гранатов $\text{Li}_{5+x}\text{A}_x\text{La}_{3-x}\text{M}_2\text{O}_{12}:\text{Ln}$

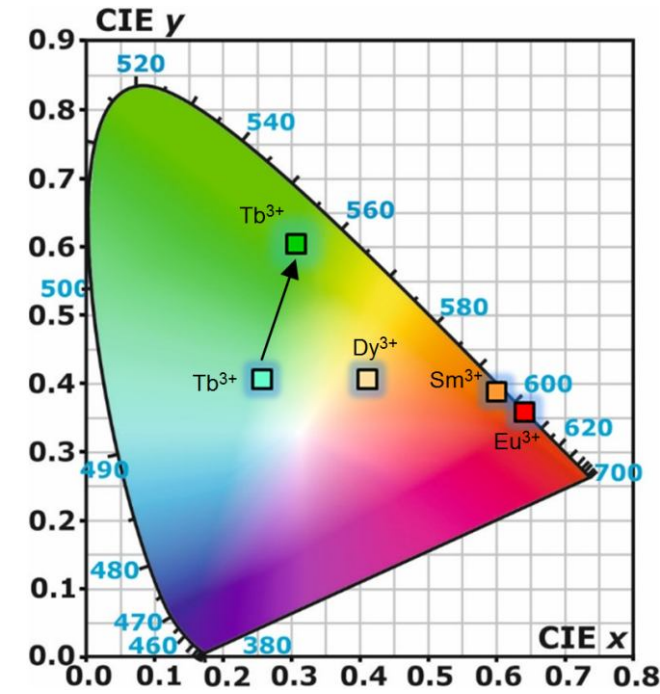
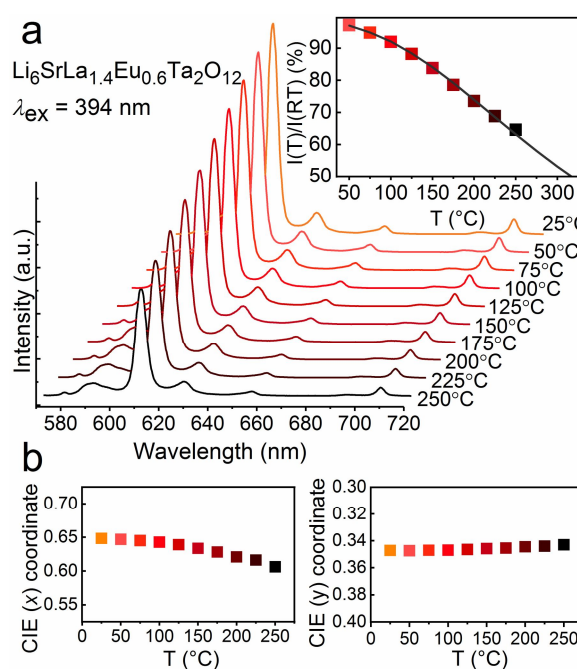


ИНСТИТУТ
ХИМИИ ТВЕРДОГО ТЕЛА
УрО РАН

($\text{A} = \text{Ca}, \text{Sr}; \text{M} = \text{Nb}, \text{Hf}, \text{Ta}; \text{Ln} = \text{Nd}, \text{Sm}, \text{Eu}, \text{Tb}, \text{Dy}$)



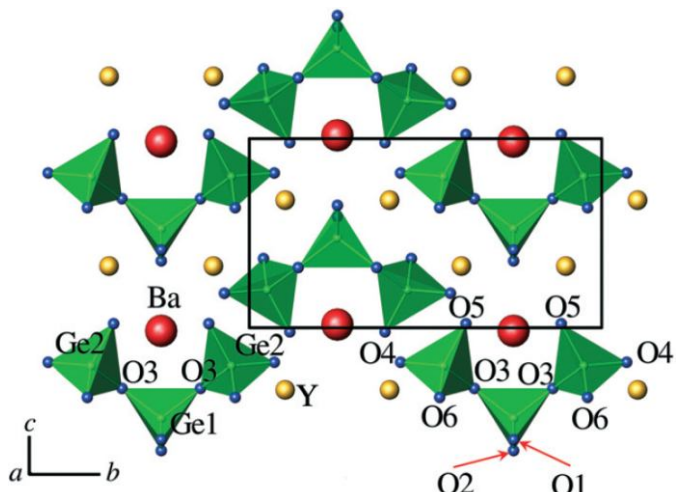
Кристаллическая решётка литиевых гранатов на основе оксидов Nb, Hf, Ta, как например, изображённого кубического граната $\text{Li}_{5+x}\text{Ca}_x\text{La}_{3-x}\text{Ta}_2\text{O}_{12}$ является отличной оптической матрицей для ионов РЗЭ



Изученные активаторы возбуждают красновато-оранжевую (Sm, Eu) или сине-зеленую эмиссию (Tb), стабильную в широком диапазоне температур. Содопирирование диспрозием позволяет получить свечение близкое к белому за счет регулирования соотношения интенсивностей двух основных эмиссионных линий в синей и желтой областях спектра.

В цикле статей 2019 г. сотрудниками ИХТТ УрО РАН обобщён огромный массив спектрально-люминесцентных исследований 4f-4f переходов РЗЭ в литиевых гранатах с возбуждением в УФ-диапазоне и эмиссией в видимом диапазоне. Определены оптимальные концентрации активаторов для получения высокоэффективных люминофоров видимого диапазона с близким белому свечением.

Новый люминофор с высокой термической стабильностью красного свечения $\text{BaY}_2\text{Ge}_3\text{O}_{10}:\text{Eu}^{3+}$



Фрагмент кристаллической решётки $\text{BaY}_2\text{Ge}_3\text{O}_{10}$

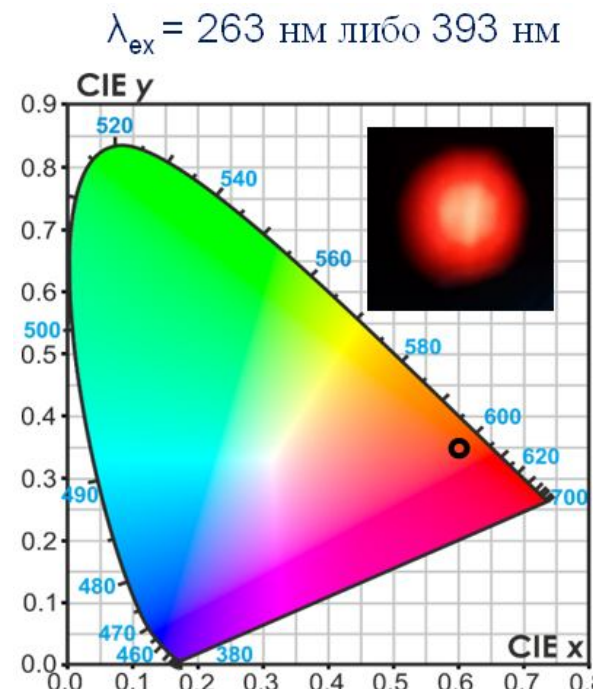


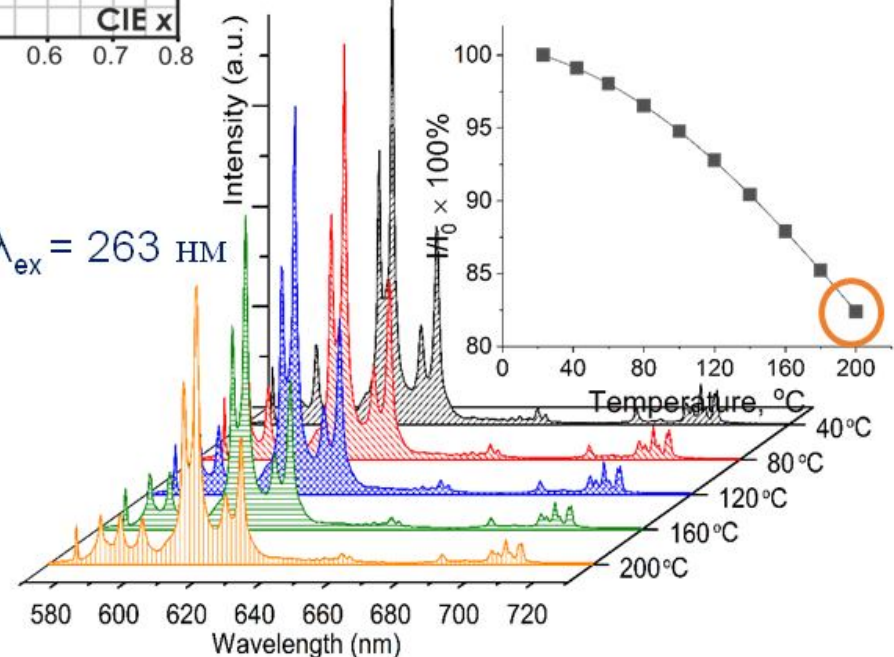
Диаграмма цветности образца $\text{BaY}_{1.4}\text{Eu}_{0.6}\text{Ge}_3\text{O}_{10}$. Координаты цветности ($x = 0.60$, $y = 0.33$), чистота цвета = 78 %

Приведена реальная фотография свечения образца с оптимальным содержанием европия.

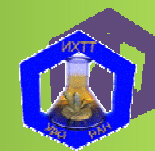
Сотрудниками ИХТТ УрО РАН синтезирован представительный набор триортогерманатов бария и РЗЭ, изучена их кристаллохимия и оптические свойства.

Особенностью решётки этих германатов является наличие уникального подковообразного аниона Ge_3O_{10} , обладающего плоскостью симметрии. При возбуждении ультрафиолетовым излучением (263 нм либо 393 нм) соединения люминесцируют в оранжево-красной области спектра.

Полученные образцы обладают высокой стабильностью люминесценции, нагрев до 200 °C снижает интенсивность всего на 18% относительно комнатной температуры

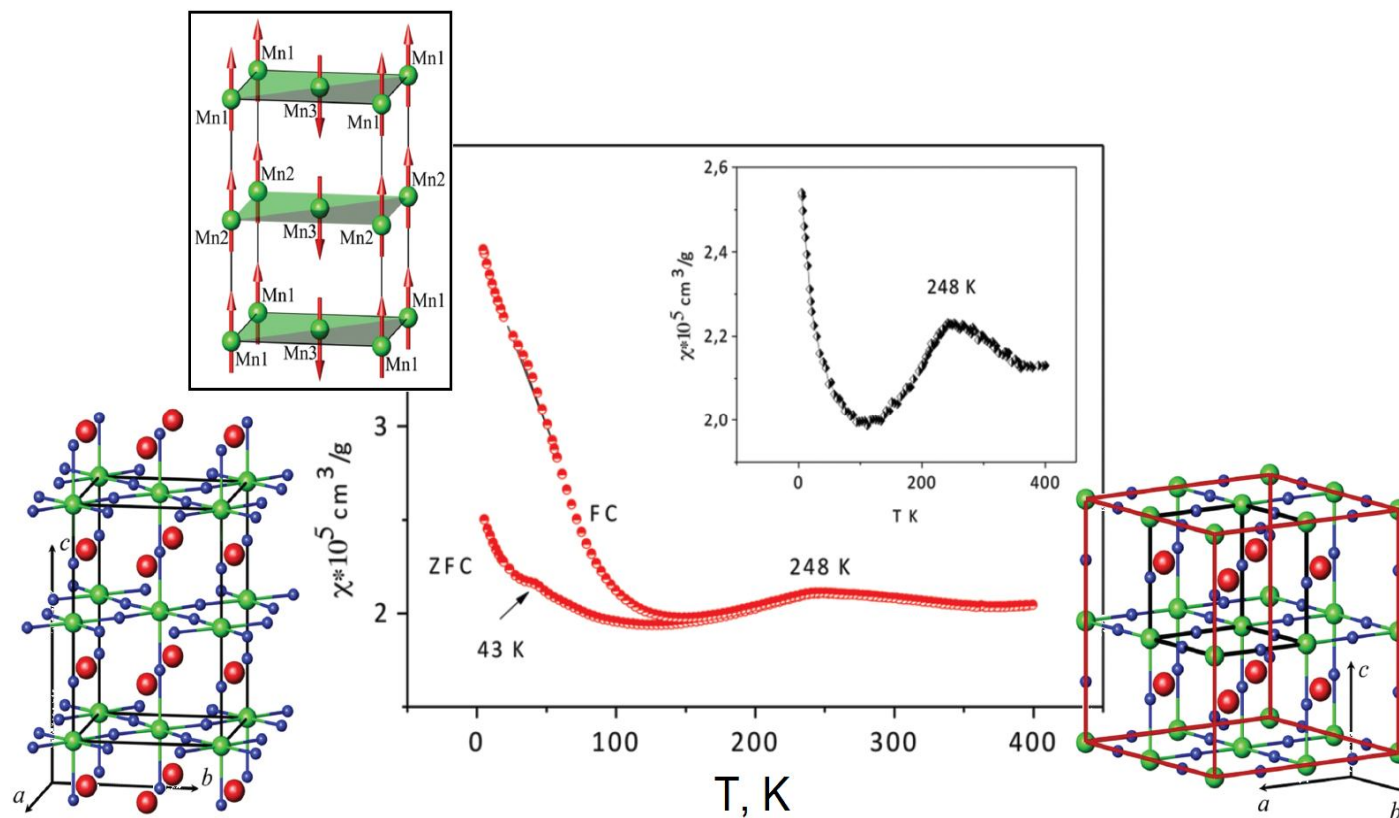


Новые магнетики и магнетоэлектрики на основе перовскитоподобных манганитов $\text{SrMn}_{1-x}\text{Sb}_x\text{O}_3$



ИНСТИТУТ
ХИМИИ ТВЕРДОГО ТЕЛА
УрО РАН

Сотрудниками ИХТТ УрО РАН впервые синтезированы и аттестованы перспективные магнитные материалы для электроники на основе перовскитоподобных манганитов $\text{SrMn}_{1-x}\text{Sb}_x\text{O}_3$ в широкой области составов ($x < 0.5$). Совместно с исследователями из ИФМ УрО РАН, Франции и Германии изучена взаимосвязь между стехиометрией, фазовым составом и магнитными свойствами соединений в широком диапазоне температур. Открыты две полиморфные модификации, реализующиеся как термодинамически устойчивые при разном содержании Sb и отличающиеся типом катионного упорядочения. Обе модификации могут проявлять антиферромагнитные свойства с высокими температурами Нееля, достигающими 280 К для состава $\text{SrMn}_{0.925}\text{Sb}_{0.075}\text{O}_3$.

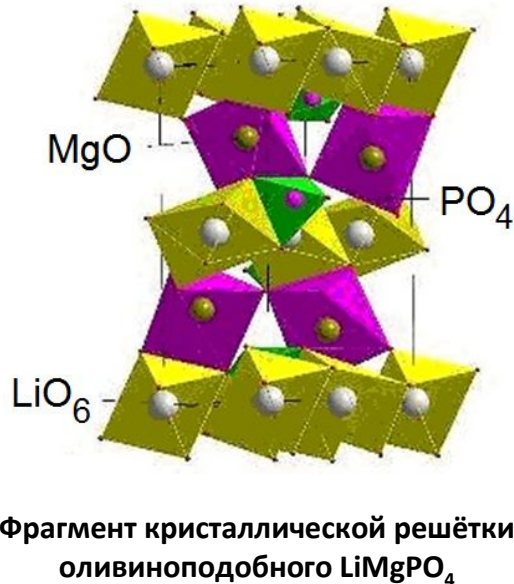


Кристаллические структуры низко- и высокотемпературных полиморфных модификаций одного из представителей нового семейства магнетоэлектриков - манганита $\text{SrMn}_{0.8}\text{Sb}_{0.2}\text{O}_3$. Температурная зависимость магнитной восприимчивости (при 0 и 0.5 килоэрстед) обнаруживает специфический антиферромагнитный характер соединения при низких температурах

Литий-магниевый фосфат LiMgPO_4 : матрица для линейки новых дозиметрических материалов



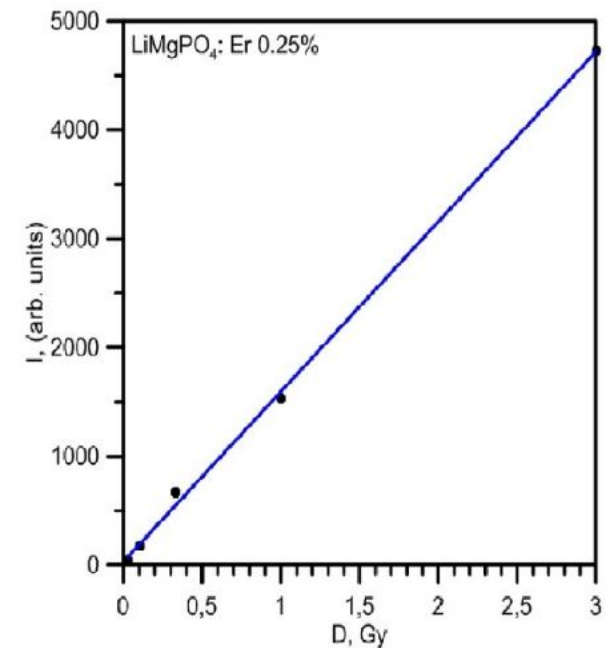
ИНСТИТУТ
ХИМИИ ТВЕРДОГО ТЕЛА
УрО РАН



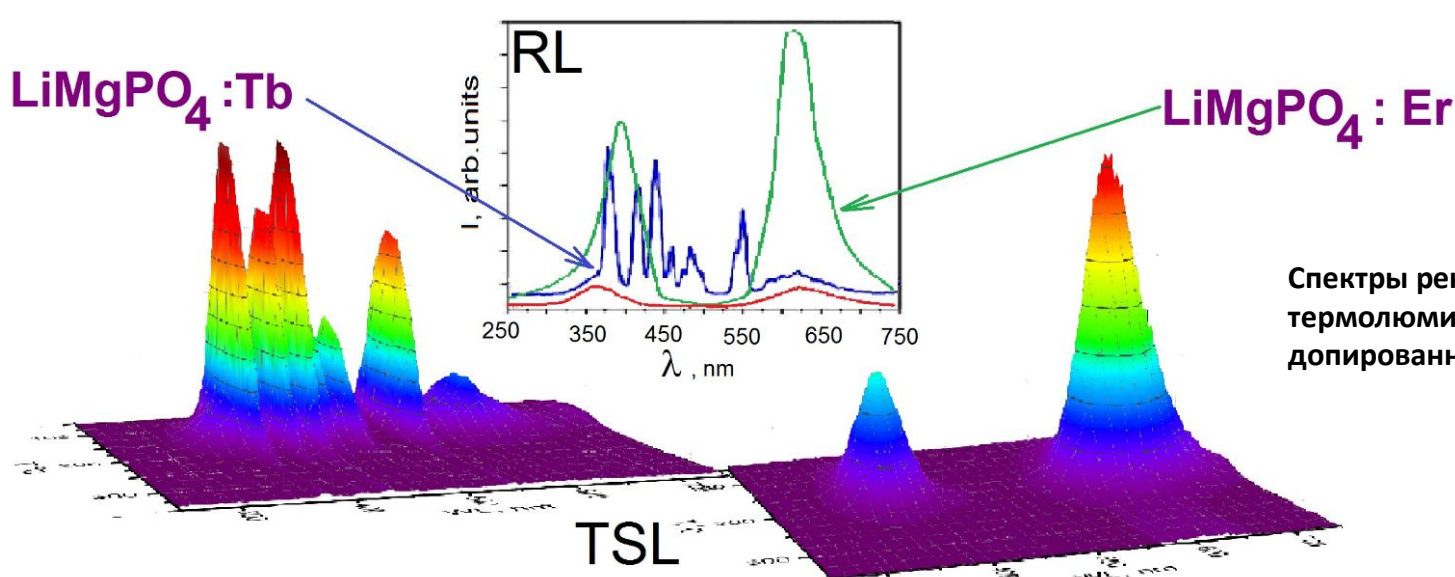
Фрагмент кристаллической решётки оливиноподобного LiMgPO_4

Сотрудниками ИХТТ УрО РАН синтезированы соединения на основе LiMgPO_4 с добавками Tb , Er , In . Оптимизированы их составы, аттестованы структура, оптические и люминесцентные свойства как дозиметрических материалов. С использованием квантовохимических расчётов предложен механизм люминесценции.

Впервые показано, что добавка Er позволяет получить термolumинесцентный материал с высокой чувствительностью к облучению даже в области малых доз и линейной дозовой зависимостью, а добавка In смещает максимум вы辉ечивания в область высоких температур – более, чем на 200 градусов по сравнению с чистой матрицей, что способствует хранению дозиметрической информации.

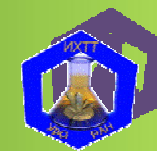


Дозовая зависимость сигнала термolumинесценции LiMgPO_4 : Er



Спектры рентгенолюминесценции и термolumинесценции для матрицы LiMgPO_4 , допированной Tb и Er

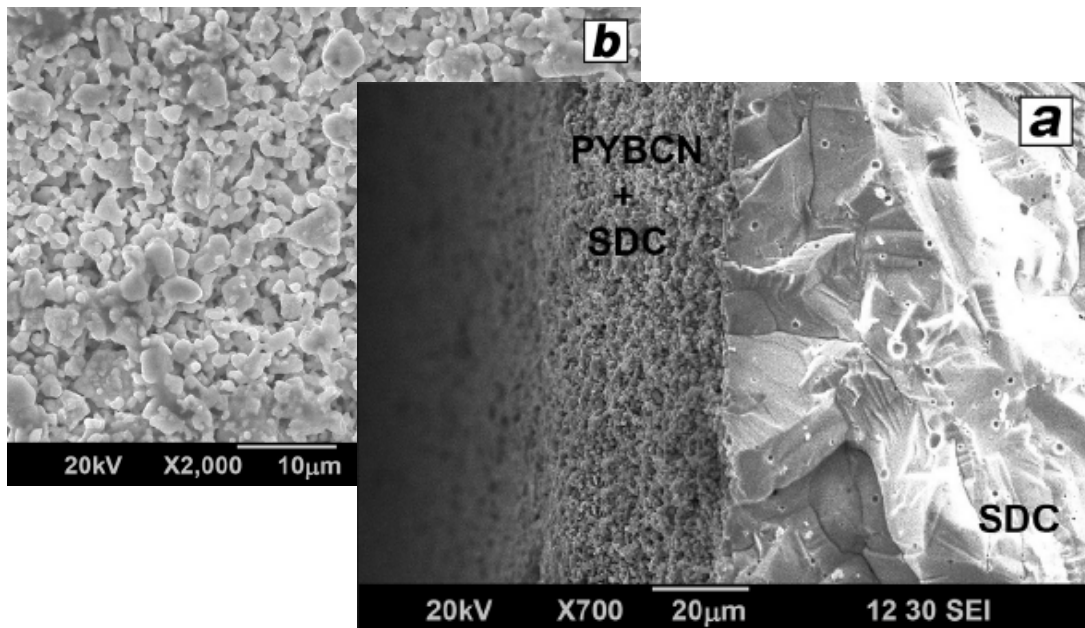
Высокоэффективный композитный катод для среднетемпературных ТОТЭ: $\text{Pr}_{0.9}\text{Y}_{0.1}\text{BaCo}_2\text{O}_{6-\delta} - \text{Ce}_{0.8}\text{Sm}_{0.2}\text{O}_{1.9}$



ИНСТИТУТ
ХИМИИ ТВЕРДОГО ТЕЛА
УрО РАН

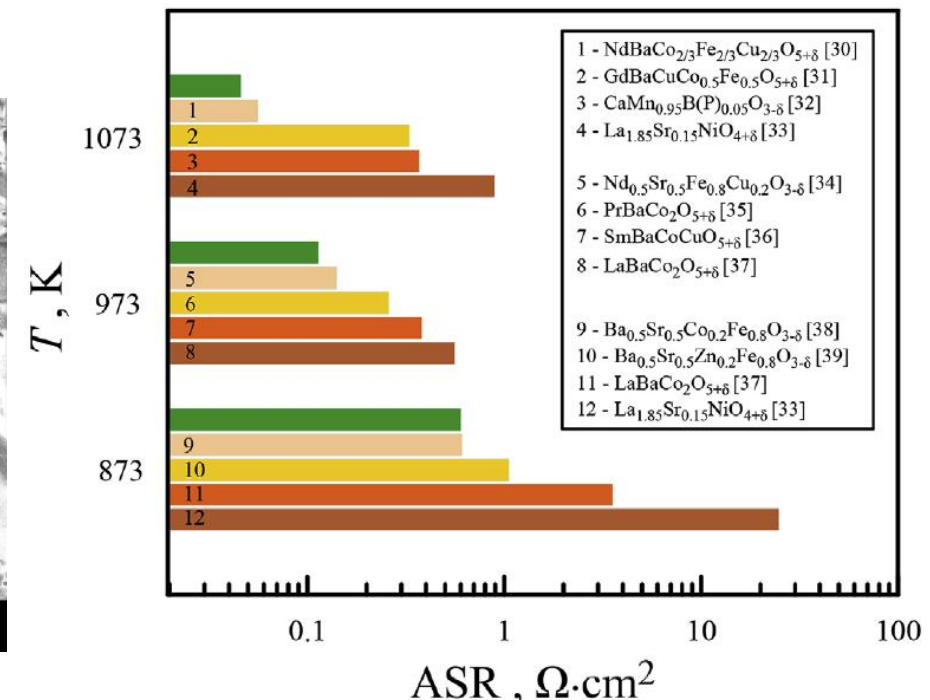
Создан композитный материал на основе $\text{Pr}_{0.9}\text{Y}_{0.1}\text{BaCo}_{1.8}\text{Ni}_{0.2}\text{O}_{6-\delta}$ (PYBCN) с добавкой 30 вес% $\text{Ce}_{0.8}\text{Sm}_{0.2}\text{O}_{1.9}$ (SDC), демонстрирующий низкий коэффициент термического расширения и низкое поляризационное сопротивление ($0.11 \Omega \cdot \text{cm}^2$ при 973 К). Увеличение температуры сопровождается уменьшением энергии активации проводимости с 1.2 эВ до 0.9 эВ и падением поляризационного сопротивления до $0.045 \Omega \cdot \text{cm}^2$ при 1073 К. Последнее объяснено увеличением концентрации кислородных вакансий в позициях O₂ в структуре кобальтита. Катодное перенапряжение для реакции восстановления кислорода при 1073 К не превышает 40 мВ при плотности тока $1000 \text{ mA} \cdot \text{cm}^{-2}$.

Умеренное тепловое расширение, хорошая проводимость и высокая электрохимическая активность выделяют полученный композит PYBCN/SDC в качестве одного из лучших катодных материалов для средне-температурных ТОТЭ.



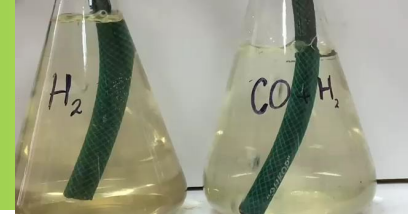
Микрофотографии границы электролита SDC с бинарным композитом PYBCN/SDC электрода (а), а также поверхности пористого электрода (б)

Journal of Alloys and Compounds, 779, 712 (2019)



Сопоставление поляризационного сопротивления (ASR) различных катодных материалов в контакте с CeO_2 -электролитом при различных температурах.
Данные для исследованного композита PYBCN/SDC даны зелёным цветом.

Мембранный паровой риформинг метана: оптимизация генерации водорода и синтез-газа



Исследованы основные характеристики мембранного процесса парового риформинга метана с получением чистого водорода и синтез-газа в катодном и анодном полупространствах, соответственно. Установлено, что трубчатая ферритная мембрана $\text{La}_{0.5}\text{Sr}_{0.5}\text{FeO}_{3-\delta}$ может успешно функционировать при площади поверхности больше 10 см^2 . Показано, что тепловая мощность, генерируемая в реакции окисления метана, зависит от селективности окисления метана.

Успешно осуществлён 300-часовой комбинированный процесс разложения воды и частичного окисления метана с выходом водорода $\sim 2 \text{ мл}/(\text{мин} \text{ см}^2)$, с устойчивой конверсией метана $\sim 99\%$ и избирательностью по СО $\sim 96\%$.

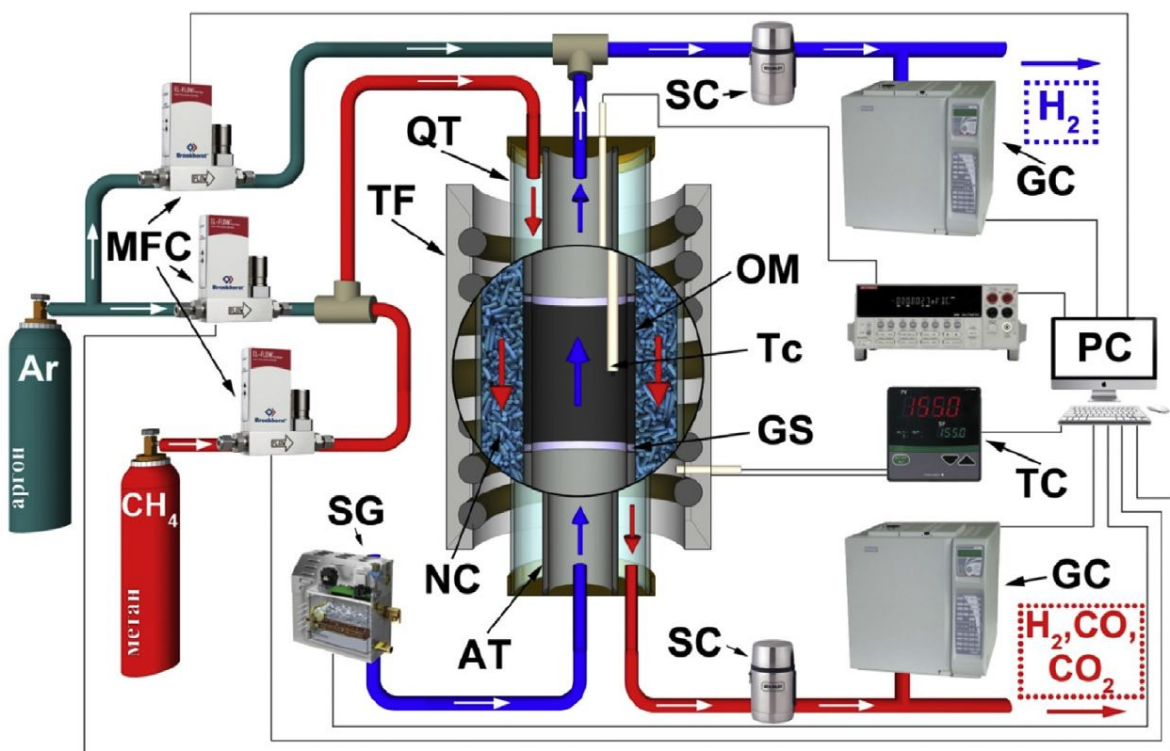
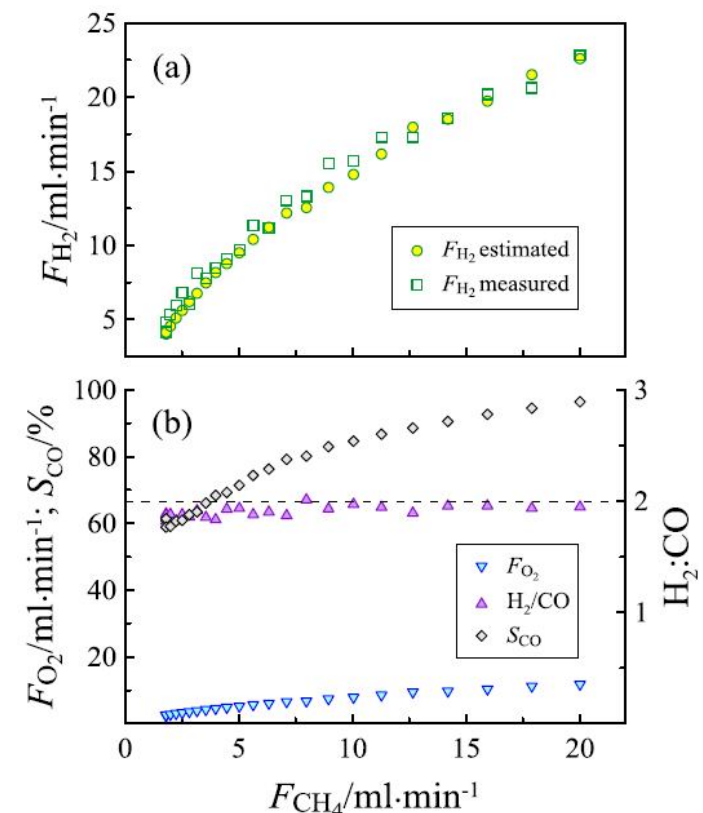


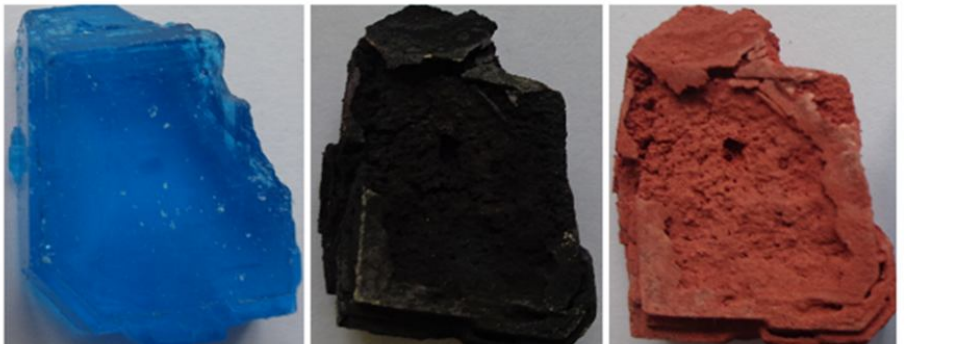
Схема установки для тестирования керамической мембранны в условиях одновременных процессов частичного окисления метана (POM) и разложения воды (WS)



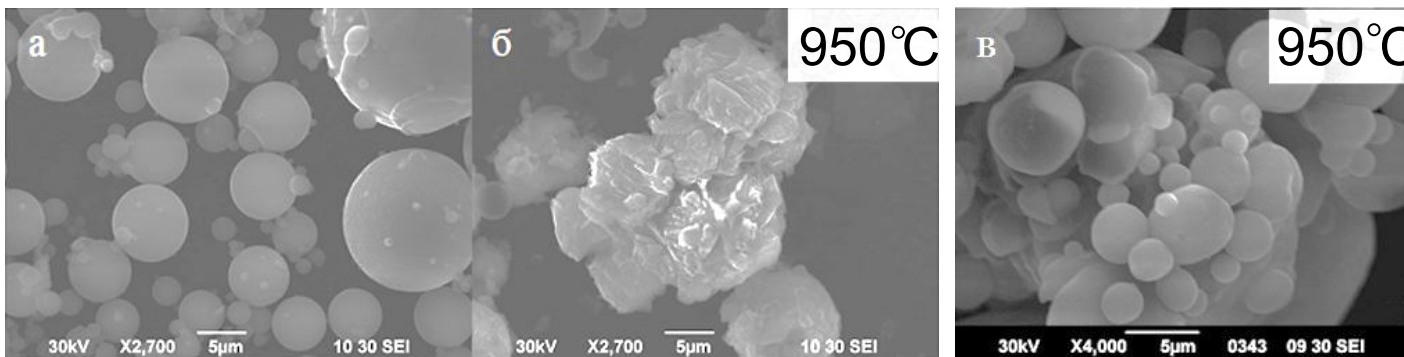
Удельная производительность водорода в реакции WS (а) и характеристики процесса POM (б) в зависимости от потока метана при $T = 900^\circ\text{C}$. Эффективная площадь мембранны 11.3 см^2 . Расход пара $300 \text{ мл}/\text{мин}$

Формиаты переходных металлов: прекурсоры композитных материалов и модификаторы поверхности металлов

Разработаны доступные способы получения водных и безводных формиатов d-металлов (Mn , Fe , Co , Ni , Cu), изучены продукты и механизмы их термического разложения.



Семейство полученных формиатов меди в разных полиморфных модификациях и с разным содержанием кристаллизационной воды



Морфология частиц АСД-4, обработанных $M(HCOO)_2 \cdot 2H_2O$, до (а) и после (б) окисления в сравнении с необработанными частицами, подвергавшиеся окислению (в)

Полученные соединения могут быть использованы как самостоятельные прекурсоры для создания металлоксидных композитов с интересными магнитными свойствами, так и служить модификаторами поверхности частиц металлов, в частности, алюминия. В последнем случае, образующиеся продукты термолиза формиатов могут оказывать влияние на строение барьераного слоя в ходе реакции окисления, положительно меняя реактивность поверхности алюминия и позволяя оптимизировать свойства порошков на основе Al для 3D печати или активаторов твердых ракетных топлив.

Бессопловой ракетный двигатель твердого топлива



ИНСТИТУТ
ХИМИИ ТВЕРДОГО ТЕЛА
УрО РАН

- Представленный двигатель, в зависимости от полетного задания, позволяет увеличить полезную массу ракеты или скорость и максимальное расстояние полета.
- При 3Д печати предполагается использование порошков, разрабатываемые в ИХТТ УрО РАН, в качестве горючих и конструкционных материалов.

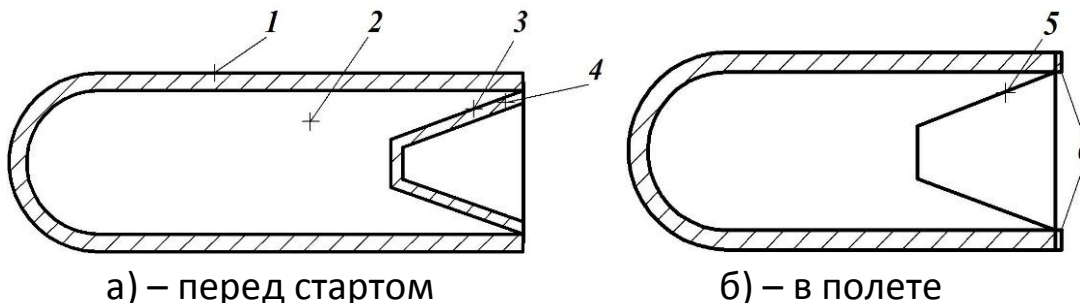


Рис. 1. Схема двигателя с «виртуальным соплом» в форме усеченного конуса

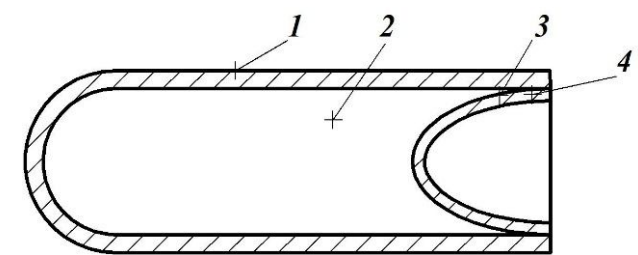


Рис. 2. Схема двигателя с «виртуальным соплом» в форме сверхзвуковой части сопла Лаваля

- Бессопловой ракетный двигатель твердого топлива состоит из: 1) - корпус, имеющий переднее днище, цилиндрическую часть и задний торец; 2) - заряд твердого топлива, торец которого выполнен в виде усеченного конуса; 3) заряд твердого топлива; 4) – воспламенитель.
- Корпус и заряд твердого топлива изготавляются как единое целое на 3D-принтере.
- Температура воспламенения корпуса равна температуре воспламенения материала заряда твердого топлива, контактирующего со стенками корпуса.
- Корпус Бессоплового ракетного двигателя может быть выполнен из сплава на основе алюминия, например Al_2Mg_3 .
- Заряд твердого топлива у Бессоплового ракетного двигателя возможно изготовить из смесевого топлива, содержащего дополнительно порошок металлического циркония или алюминия, модифицированного оксидом ванадия или редкоземельным элементом.

Композиционные биоматериалы с гидроксиапатитным покрытием для медицинских приложений

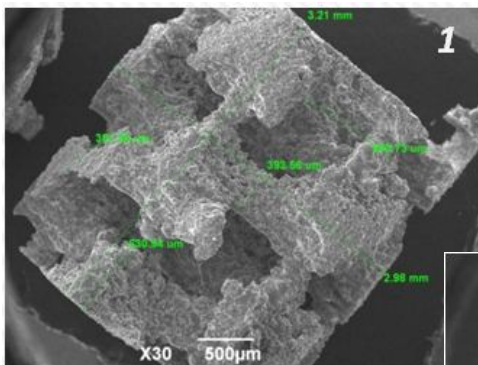


ИНСТИТУТ
ХИМИИ ТВЕРДОГО ТЕЛА
УрО РАН

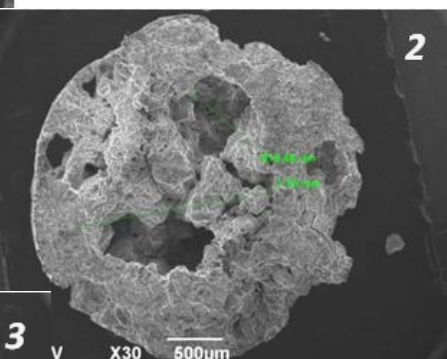
Изучена возможность использования различных форм гидроксиапатита (коллоидная суспензия, порошок - ГАП) в сочетании с органическими и неорганическими добавками в качестве биоактивных композиционных материалов.

Определены оптимальные составы композиций (форма ГАП, соотношение компонентов) и способы для их нанесения на матрицы различной пористости и природы с образованием прочного контакта. Предложены материалы на основе биоактивных композиций ГАП для замещения костной ткани в контакте с матрицами никеля и титана.

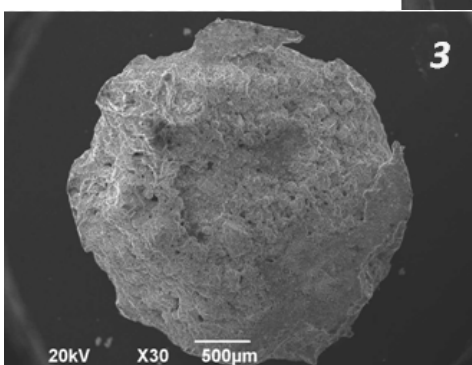
Совместно с сотрудниками Уральского государственного медицинского университета разработан эффективный стоматологический гель на основе ГАП и NaF, обладающий реминерализующим действием, а также проводятся доклинические испытания материала имплантата, полученного путем нанесения ГАП разной дисперсности на пористый медицинский сплав, изготовленный по 3D-технологии.



Поверхность Ti-3D
импланта:
1 – необработанная;



2 – обработанная
коллоидным ГАП;



3 – обработанная
суспензией
кристаллического ГАП



Развитие методов переработки отходов глинозёного производства – красных шламов

Выполнен цикл исследований и запатентованы разработки по созданию элементов линии по утилизации красного шлама выщелачиванием с извлечением оксидов алюминия Al_2O_3 и железа Fe_3O_4 . Разработки могут быть востребованы предприятиями цветной и чёрной металлургии России.

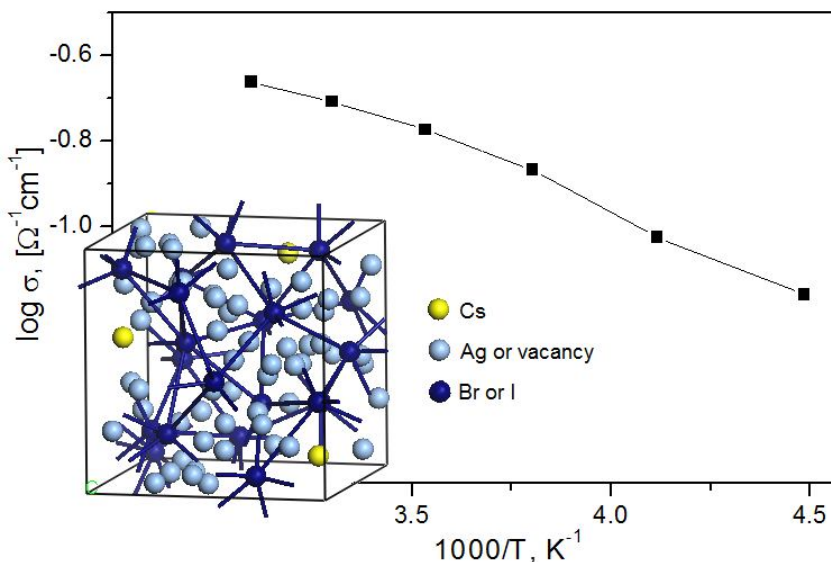
Изучение особенностей фазообразования алюмо- и гидросиликатов кальция в мультикомпонентных системах $Na_2O-CaO-Al_2O_3-SiO_2-H_2O$ позволило обосновать механизм снижения потерь алюминия в шламах в присутствии соединений кальция и разработать способ 85-90% извлечения оксида алюминия из отходов глиноземного производства автоклавным выщелачиванием в присутствии извести.



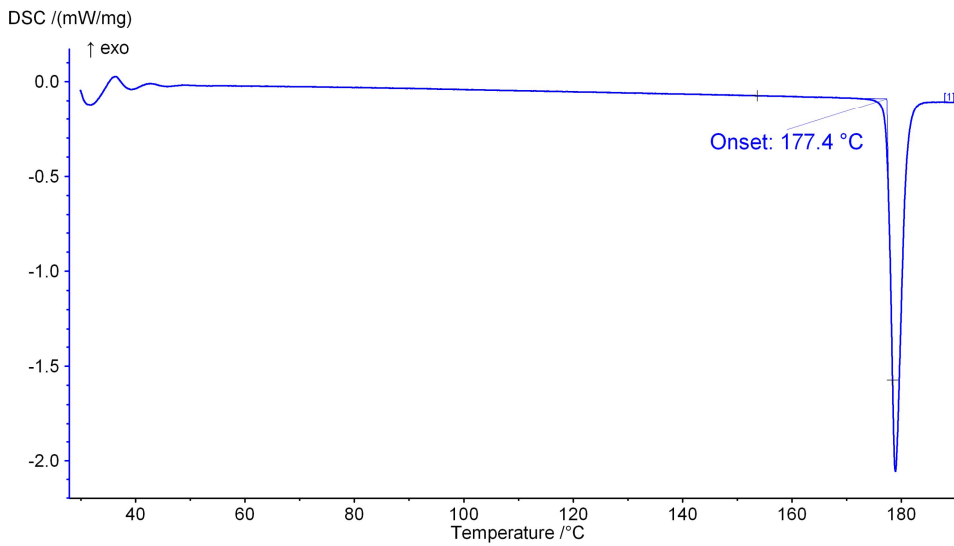
Изучение химического и фазового состава шлама, магнетизированного введением двухвалентного железа, подтвердило высокое содержание образующегося Fe_3O_4 , и низкое Na и Al, позволяющего получать магнетитсодержащий концентрат, удовлетворяющий требованиям для железосодержащего сырья в черной металлургии.

Твёрдотельный электролит для химических источников тока специального назначения

Разработан доступный и пригодный к масштабированию способ твердофазного синтеза суперионных проводников на основе смешанных пентагалогенидов тетра-серебра-цеция $CsAg_4Br_{3-x}I_{2+x}$, применимый для составов $0,25 \leq x \leq 0,5$ с максимальной электропроводностью.



Температурная зависимость электропроводности продукта и кристаллическая структура соединения



Термограмма синтезированного продукта

В отличие от известных методов получения, не гарантирующих однофазного продукта, предложенный способ синтеза $CsAg_4Br_{3-x}I_{2+x}$ реализуется с использованием обычного лабораторного оборудования при температуре 160-170 °C и обеспечивает получение однофазного порошкообразного продукта с проводимостью по ионам серебра $\sim 0,25 \Omega^{-1}\text{cm}^{-1}$ и пренебрежимо малым вкладом электронной проводимости ($\sim 8 \times 10^{-9} \Omega^{-1}\cdot\text{cm}^{-1}$) при комнатной температуре.

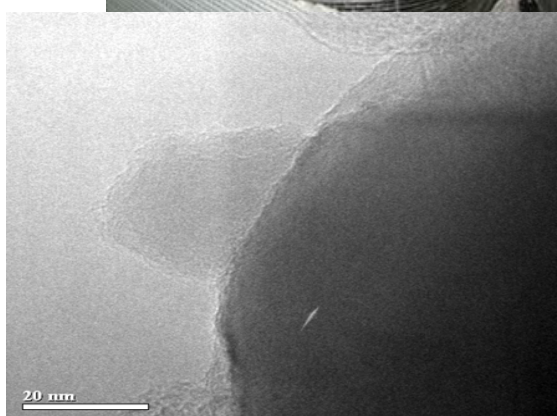
Полученный твёрдый электролит $CsAg_4Br_{3-x}I_{2+x}$ сохраняет суперионную проводимость в рекордно широком интервале температур от -50 (возможно, и ниже) до +170 °C, что позволяет варьировать условия эксплуатации устройств на его основе в экстремальных пределах.

Оптимизация технологии производства электродных материалов для литий-ионных аккумуляторов

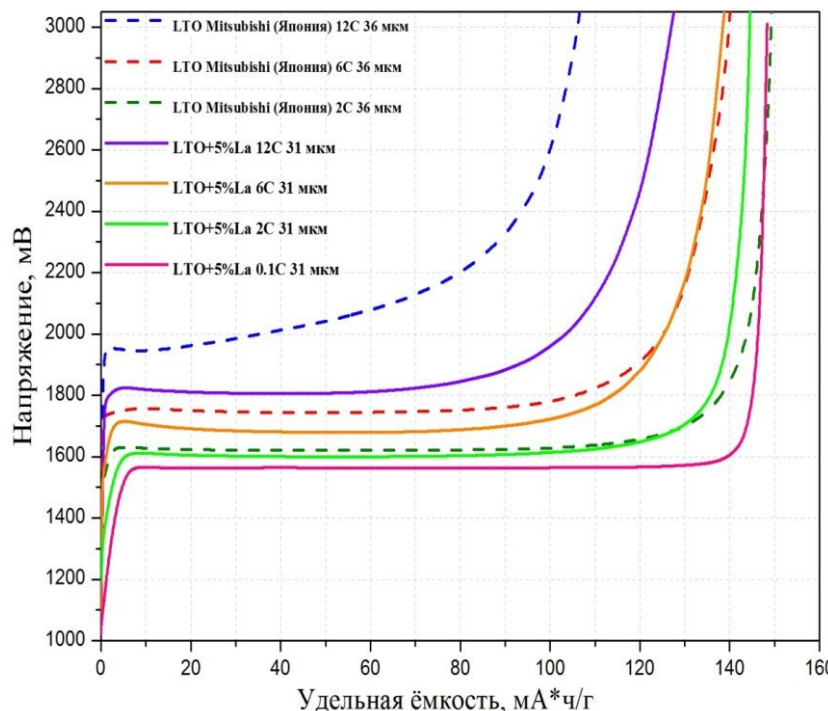
Разработаны методики для отечественного производства $\text{LiNi}_{1/3}\text{Mn}_{1/3}\text{Co}_{1/3}\text{O}_2$; $\text{LiNi}_{0.8}\text{Co}_{0.15}\text{Al}_{0.05}\text{O}_2$ и $\text{Li}_{1.2}\text{Ni}_{0.175}\text{Co}_{0.10}\text{Mn}_{0.525}\text{O}_2$ в нескольких вариантах процесса синтеза горения растворов (SCS) с оценкой расходных норм сырья, технологического времени и проектом участка по производству 1-2 т материала в год.

Исследованы условия синтеза линейки электродных материалов из LiCoO_2 , LiFePO_4 , $\text{LiMn}_{1.5}\text{Ni}_{0.5}\text{O}_4$, Co_3O_4 , Fe_3O_4 , $\text{Fe}_2\text{O}_3/\text{C}$, $\text{Li}_4\text{Ti}_5\text{O}_{12}$, $\text{Li}_4\text{Ti}_{4.95}\text{La}_{0.05}\text{O}_{12}$, Li_3VO_4 , $0.5\text{Li}_2\text{MnO}_3 \cdot 0.5\text{LiMn}_{0.333}\text{Ni}_{0.333}\text{Co}_{0.333}\text{O}_2$, $\text{Li}_{1.2}\text{Ni}_{0.2}\text{Mn}_{0.6}\text{O}_2$ и др.

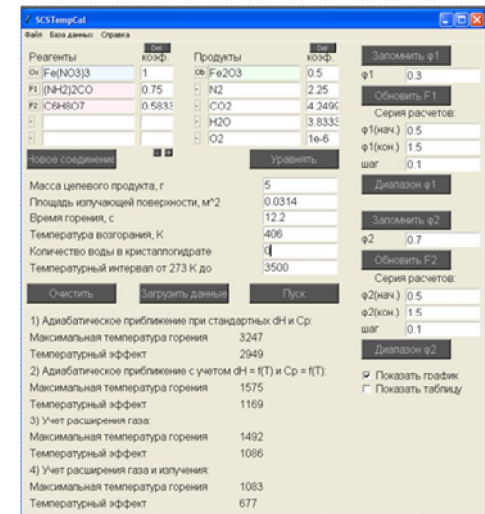
Создана линия по сборке ячеек литий-ионных аккумуляторов и начаты электрохимические испытания получаемых образцов.



Синтез $\text{Li}_4\text{Ti}_5\text{O}_{12}$ (LTO) и морфология его порошка на нанометровом масштабе

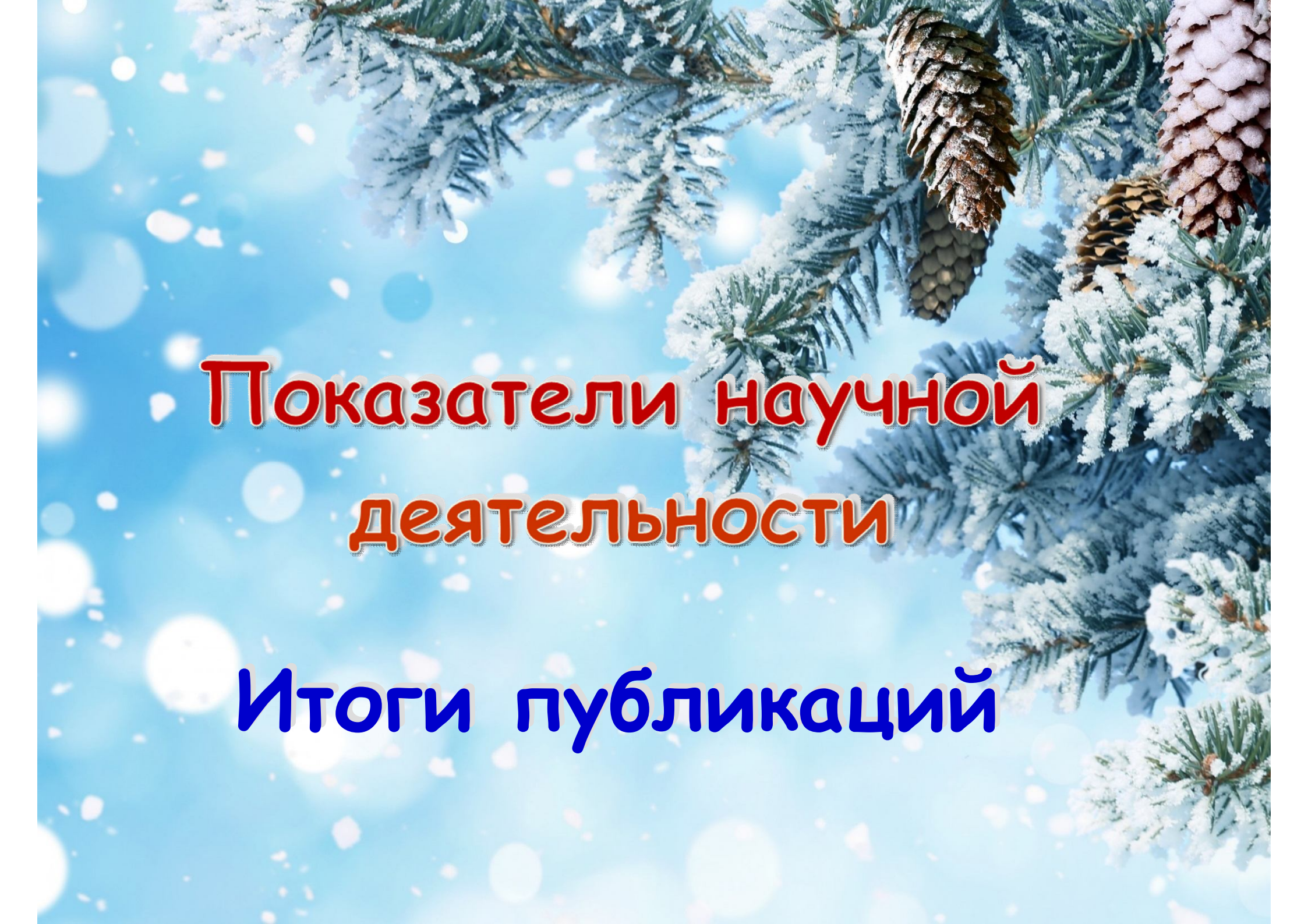


Разрядные кривые по литию для анодов на основе LTO при 2, 6, и 12C.
Пунктир – образцы Mitsubishi,
сплошная линия – образцы ИХТТ УрО РАН



Интерфейс программы
SCSTempCal для
моделирования
температур, достигаемых
при горении смесей в SCS





**Показатели научной
деятельности**

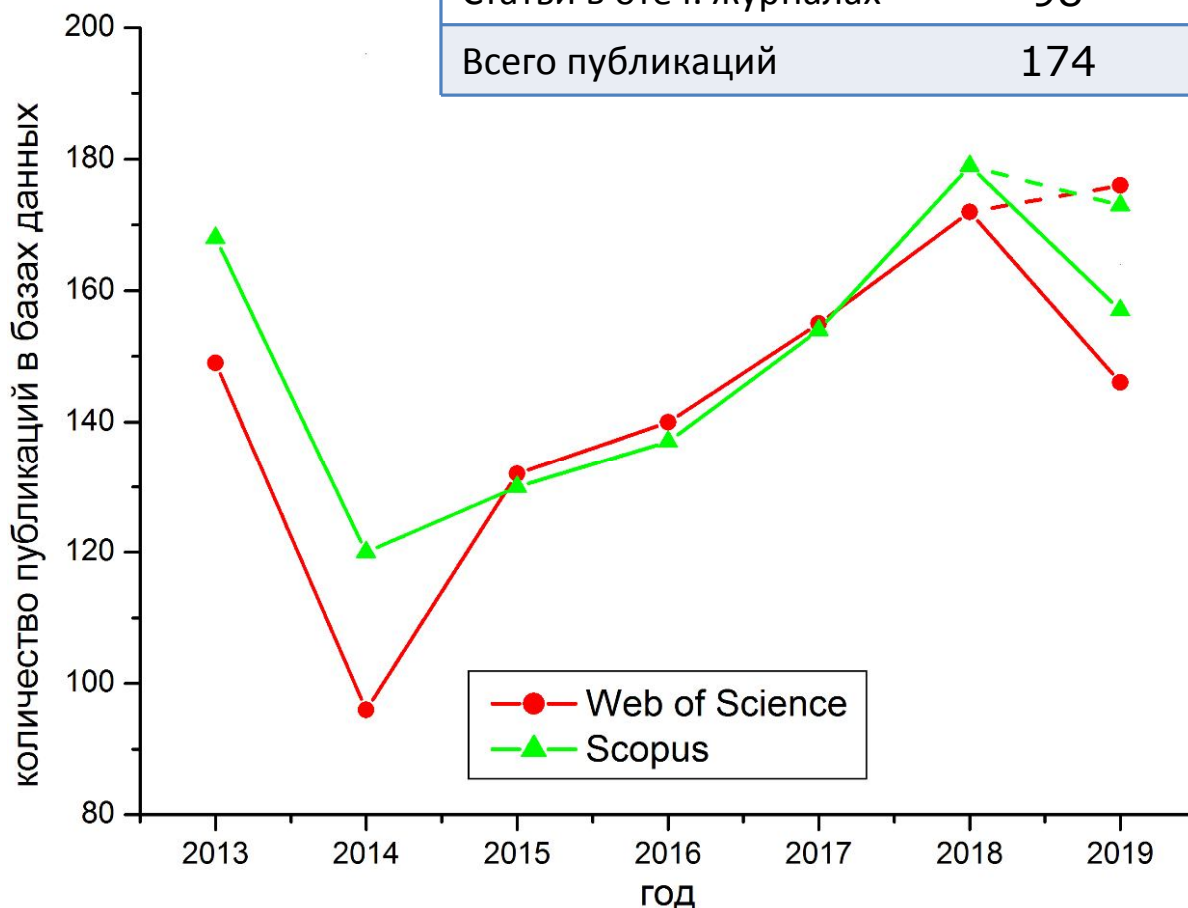
Итоги публикаций

Динамика публикационной активности сотрудников ИХТТ УрО РАН



ИНСТИТУТ
ХИМИИ ТВЕРДОГО ТЕЛА
УрО РАН

Итоги публикаций	2015	2016	2017	2018	2019
Главы в монографиях	2	1	1	2	2
Монографии	2	7	2	2	2
Статьи в межд. журналах	72	72	99	102	87
Статьи в отеч. журналах	98	89	88	94	88
Всего публикаций	174	169	190	200	179

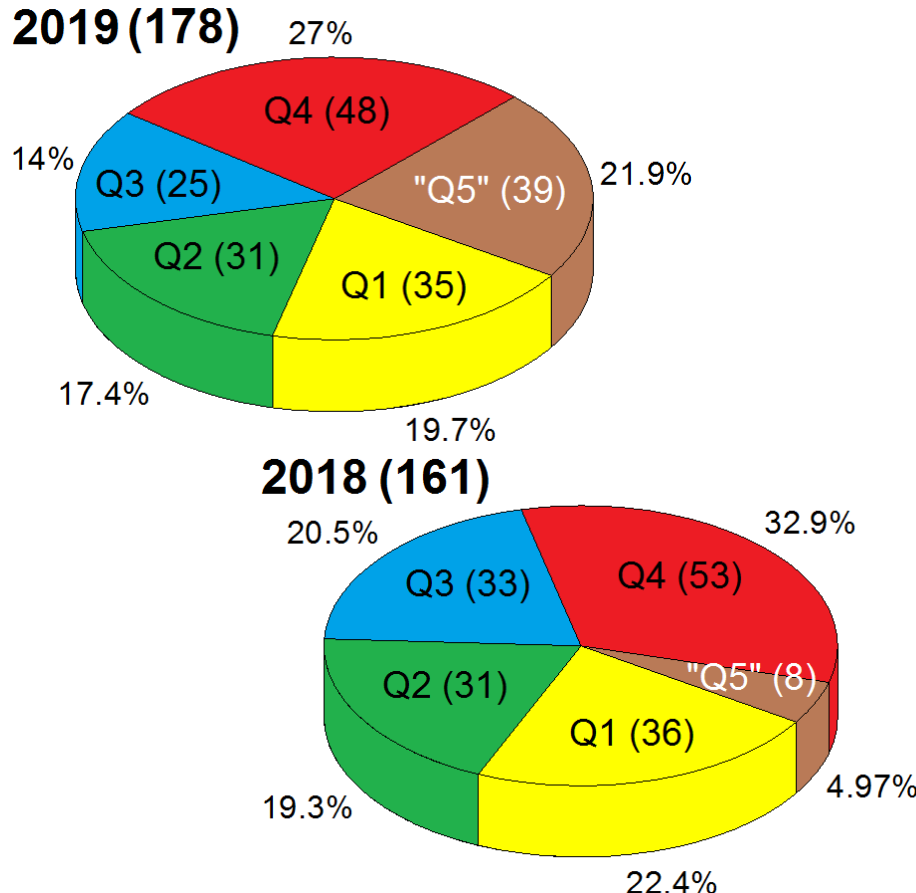


Публикации с аффилиацией ИХТТ УрО РАН, зарегистрированные в базах РИНЦ, Web of Science и Scopus на 25.12.2019 г.

Пунктирной линией показано
ориентировочное число согласно
переписи внутри Института на дату
13.12.2019 г. (176 в WoS и 173 в Scopus)

Распределение публикаций 2019 г. ИХТТ УрО РАН по квартилям изданий, входящих в WoS и/или Scopus

123 сотрудника представили 178 публикаций
из изданий WoS/Scopus (на 13.12.2019 г.)



По сравнению с 2018 г. абсолютное количество статей Q1 и Q2 почти не изменилось, хотя, общее количество статей выросло.

Количество статей Q3 и Q4 упало: они ушли в Q5, и это явление нельзя объяснить лишь статьями из новой лаб. 6.

Наблюдается перманентный перевес в публикациях Q4. В 2020 г. желательно переломить, эту диспропорцию.
А лучше повысить долю Q1 до 25%!

top-15 по сумме Q/N
важен квартиль!

№	ФИО
1.	Садовников С.И.
2.	Леонидов И.А.
3.	Еняшин А.Н.
4.	Захарова Г.С.
5.	Патракеев М.В.
6.	Курлов А.С.
7.	Марков А.А.
8.	Медведева Н.И.
9.	Келлерман Д.Г.
10.	Тютюнник А.П.
11.	Конышева Е.Ю.
12.	Гусев А.И.
13.	Меркулов О.В.
14.	Базуев Г.В.
15.	Сунцов А.Ю.

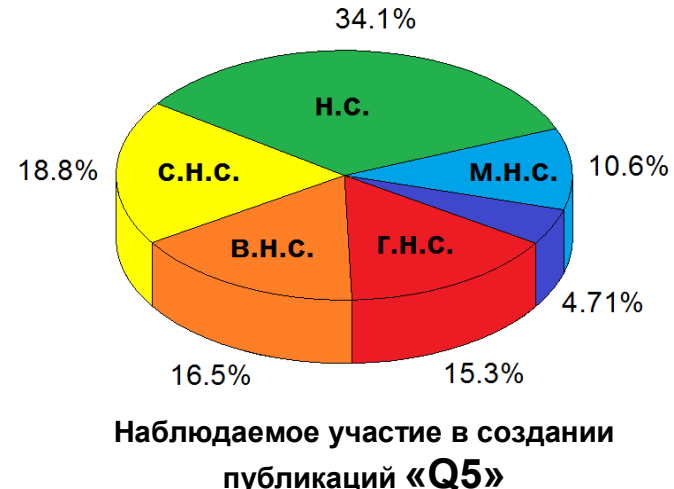
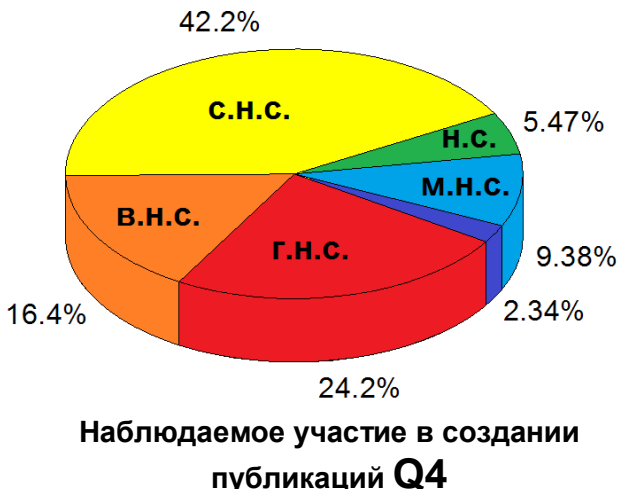
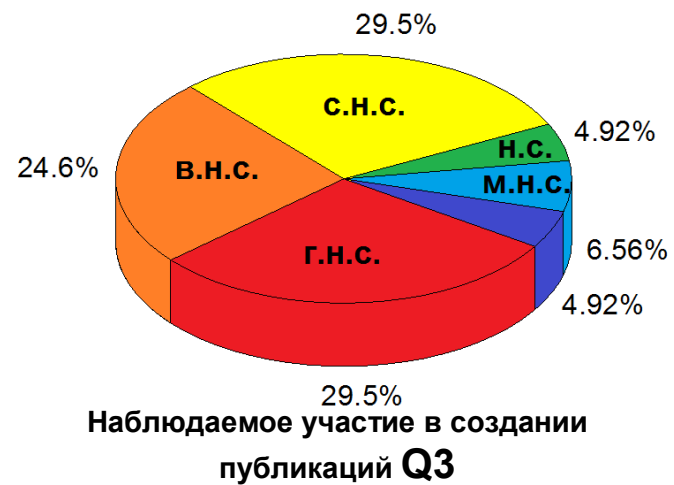
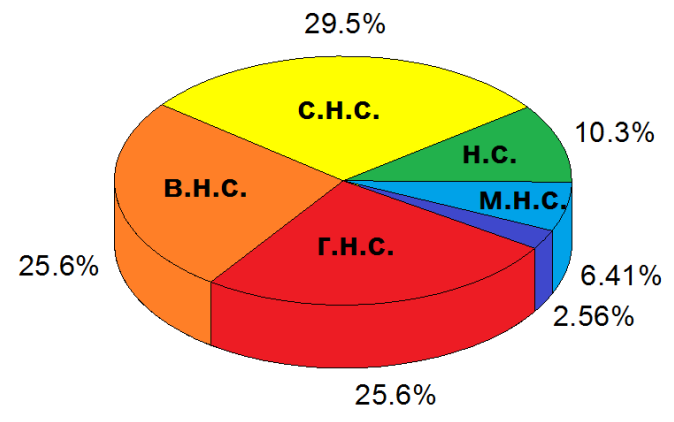
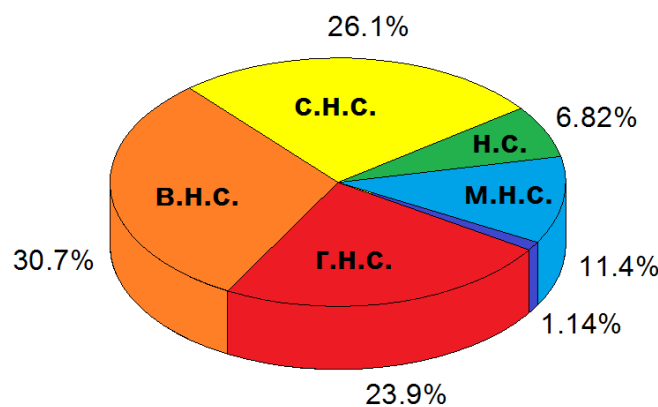
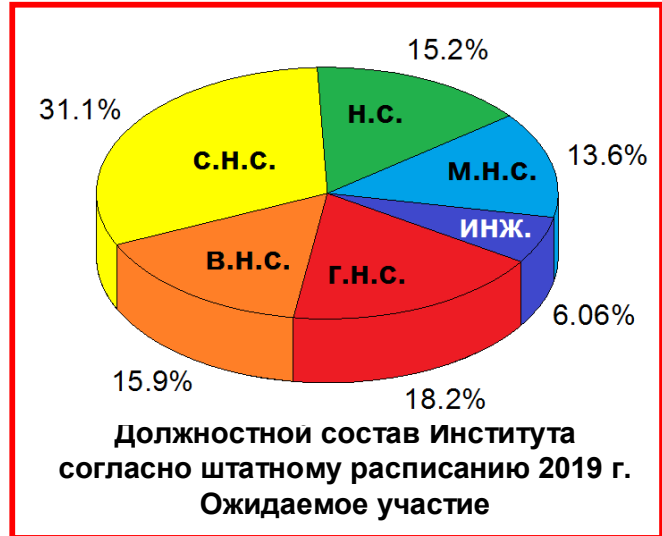
top-15 по ПРНД 2019
важен импакт-фактор!

№	ФИО
1.	Тютюнник А.П.
2.	Еняшин А.Н.
3.	Гусев А.И.
4.	Садовников С.И.
5.	Патракеев М.В.
6.	Кузнецов М.В.
7.	Овсянников С.В.
8.	Бакланова И.В.
9.	Зубков В.Г.
10.	Бакланова Я.В.
11.	Леонидов И.А.
12.	Политов Б.В.
13.	Липина О.А.
14.	Красильников В.Н.
15.	Кожевников В.Л.

Распределение публикаций 2019 г. ИХТТ УрО РАН по quartileм изданий, входящих в WoS и/или Scopus



ИНСТИТУТ
ХИМИИ ТВЕРДОГО ТЕЛА
УрО РАН



Категория «в.н.с.» бьёт рекорды по публикациям Q1, Q2, Q3 (особенно Q1).

Категория «г.н.с.» тоже выбивается в положительном смысле по Q1, Q2, Q3 (особенно Q3).

Категория «с.н.с.» бьёт рекорды только по публикациям Q4

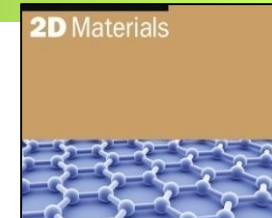
(работает, но без огонька, и это несмотря на наличие «рекордсмена с.н.с.»).

Категория «н.с.», преимущественно из лаб. ИТТ спасла нас публикациями в Q5

(будем надеяться, что эти публикации перерастут в нечто Большее и сами н.с. не «мигрируют»)



(1) D.Yu. Usachov, M.V. Kuznetsov et al. «Decoding the structure of interfaces and impurities in 2D materials by photoelectron holography» // **2D Materials** - 2019. – V. 6. – P. 045046 (**IF = 7.343**)



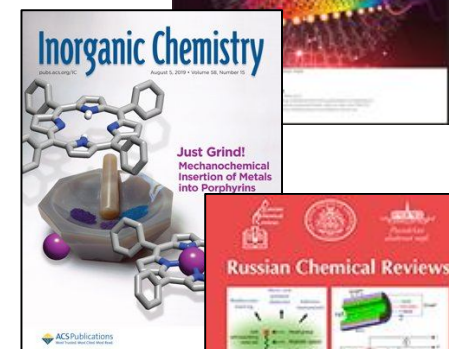
(2) G.V. Bazuev, A.P. Tyutyuunik et al. «Effect of manganese oxidation state on antiferromagnetic order in $\text{SrMn}_{1-x}\text{Sb}_x\text{O}_3$ ($0 < x < 0.5$) perovskite solid solutions» // **Journal of Materials Chemistry C** – 2019. – V. 7. – P. 2085-2095. (**IF = 6.641**)



(3) N.V. Kosova, D.G. Kellerman et al. «Thermal and structural instability of sodium-iron carbonophosphate ball milled with carbon» // **Electrochimica Acta** – 2019. – V. 302. – P. 119-129 (**IF = 5.383**)

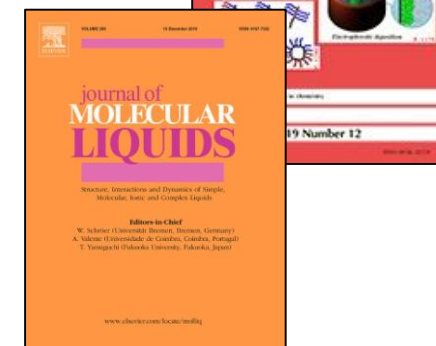


(4) A.G. Krasnov, I.R. Shein, D.G. Kellerman et al. «Ab initio and experimental insights on structural, electronic optical, and magnetic properties of Cr-Doped $\text{Bi}_2\text{Ti}_2\text{O}_7$ » // **Inorganic Chemistry** – 2019. – V. 58. – P. 9904–9915. (**IF = 4.850**)



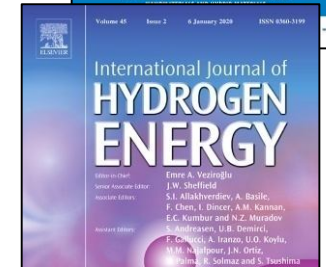
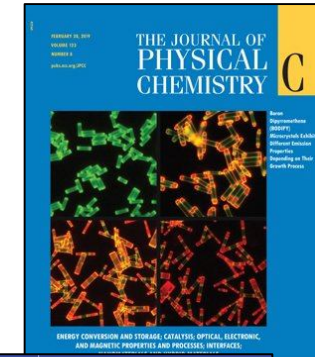
(5) С.И. Садовников. «Синтез, свойства и применение полупроводникового наноструктурированного сульфида цинка» // **Успехи химии** - 2019. - Т. 88. - С.571-593. (**IF = 4.612**)

(6) N.S. Kozhevnikova, E.S. Ulyanova, E.V. Shalaeva, A.O. Bokunyaeva, L.Yu. Buldakova, M.Yu. Yanchenko, M.V. Kuznetsov, L.A. Pasechnik, A.N. Enyashin, A.S. Vorokh et al. «A liquid-phase route for *in-situ* Sc-doping of nanocrystalline TiO_2 » // **Journal of Molecular Liquids** – 2019. - V. 284. - P. 29-38. (**IF = 4.513**)





- (7) **N.I. Medvedeva, A.L. Buzlukov, A.V. Skachkov, Y.V. Baklanova, T.A. Denisova** et al. «Mechanism of sodium-ion diffusion in alluaudite-type $\text{Na}_5\text{Sc}(\text{MoO}_4)_4$ from NMR experiment and *ab Initio* calculations» // **Journal of Physical Chemistry C** – 2019. – V. 123. – P. 4729–4738. (IF=4.309)
- (8) K. Vasu, **A.N. Enyashin** et al. «The Effect of Ru Doping on the Properties of MoSe_2 Nanoflowers» // **Journal of Physical Chemistry C** – 2019. - V. 123. - P. 1987-1994. (IF=4.309)
- (9) **A.A. Markov, O.V. Merkulov, M.V. Patrakeev, I.A. Leonidov** «Hydrogen and synthesis gas co-production on oxygen membranes of mixed conductor: Scale sensitive features of the process» // **International Journal of Hydrogen Energy**. – 2019. - V. 44. – P. 26807-26815. (IF = 4.084)
- (10) A.S. Farlenkov, **N.A. Zhuravlev, T.A. Denisova** et al. «Interaction of O_2 , H_2O and H_2 with proton-conducting oxides based on lanthanum scandates» // **International Journal of Hydrogen Energy**, – 2019. – V.44 – P. 26419–26427. (IF=4.084)
- (11) **O. Merkulov, A. Markov, E. Naumovich, E. Shalaeva, I. Leonidov, M. Patrakeev**, «Non-uniform electron conduction in weakly ordered $\text{SrFe}_{1-x}\text{Mo}_x\text{O}_{3-\delta}$ » // **Dalton Transactions** – 2019. - V. 48. - P. 4530-4537. (IF=4.052)
- (12) **T.I. Chupakhina, N.I. Kadyrova, Yu.A. Deeva, Yu.G. Zainulin, O.I. Gyrdasova** et al. «Synthesis, structure and dielectric properties of new ceramics with K_2NiF_4 -type structure» // **Journal of the European Ceramic Society** – 2019. – V. 39. – P. 3722-3729. (IF = 4.029)





(13) **V.N. Krasilnikov, V.P. Zhukov, O.I. Gyrdasova, A.P. Tyutyunnik, T.V. Dyachkova** et al.
**«Precursor synthesis, magnetic properties and electronic band structure of $Mg_{1-x}Fe_xO$
 $(0 \leq x \leq 0.075)$ »** // **Journal of Alloys and Compounds** – 2019. – V. 789. – P.30-39.

(14) D.V. Deyneko, I.I. Leonidov et al. « $Ca_8MgSm_{1-x}(PO_4)_7:xEu^{3+}$, promising red phosphors
for WLED application» // **Journal of Alloys and Compounds** – 2019. – V. 776. – P. 897–903.

(15) **K.V. Yusenko, T.V. Dyachkova, A.P. Tyutyunnik, Y.G. Zainulin** et al. «Decomposition of
single-source precursors under high-temperature high-pressure to access osmium-platinum
refractory alloys» // **Journal of Alloys and Compounds** – 2019. – V. 813. – P. 152121.

(16) **A.V. Serdtsev, N.I. Medvedeva** «Ab initio insights into Na-ion diffusion and intercalation
mechanism in alluaudite $NaMn_2(MoO_4)_3$ as cathode material for sodium-ion batteries» //
Journal of Alloys and Compounds – 2019. – V. 808. – P. 151667.

(17) **S.N. Marshenya, B.V. Politov**, D.A. Osinkin, **A.Yu. Suntsov, I.A. Leonidov, V.L. Kozhevnikov**
«Advanced electrochemical properties of $Pr_{0.9}Y_{0.1}BaCo_{1.8}Ni_{0.2}O_{6-\delta} - Ce_{0.8}Sm_{0.2}O_{1.9}$ composite as
cathode material for IT-SOFCs» // **Journal of Alloys and Compounds** – 2019. – V. 779. – P. 712-719.

(18) **A.V. Dmitriev , E.V. Vladimirova, M.V. Kandaurov, D.G. Kellerman, M.V. Kuznetsov, L.Yu Buldakova,
R.F. Samigullina** «Synthesis of hollow spheres of $BiFeO_3$ from nitrate solutions with tartaric acid:
Morphology and magnetic properties» // **Journal of Alloys and Compounds** – 2019. – V. 777. – P. 586-592.

(19) **S.I. Sadovnikov** «Thermal stability and recrystallization of semiconductor nanostructured sulfides and sulfide solid
solutions» // **Journal of Alloys and Compounds**. - 2019. - V.788. - P.586-599.

(20) **A.A. Valeeva, I.B. Dorosheva, A.A. Rempel** et al. «Influence of calcination on photocatalytic properties of
nonstoichiometric titanium dioxide nanotubes» // **Journal of Alloys and Compounds**. - 2019. - V.796. - P.293-299.

(21) **S.V. Rempel, D.A. Eselevich**, E.Yu. Gerasimov, **A.A. Valeeva** «Impact of titanium monoxide stoichiometry and heat
treatment on the properties of $TiOy/HAp$ nanocomposite» // **Journal of Alloys and Compounds**. - 2019. - V.800. -
P.412-418.



(IF = 4.175)

**Научно-
организационная
деятельность**

КАПИТАЛЬНЫЙ РЕМОНТ



ИНСТИТУТ
ХИМИИ ТВЕРДОГО ТЕЛА
УрО РАН

K.102



K.118



K.130



K.50



K.27



08



K.427



20



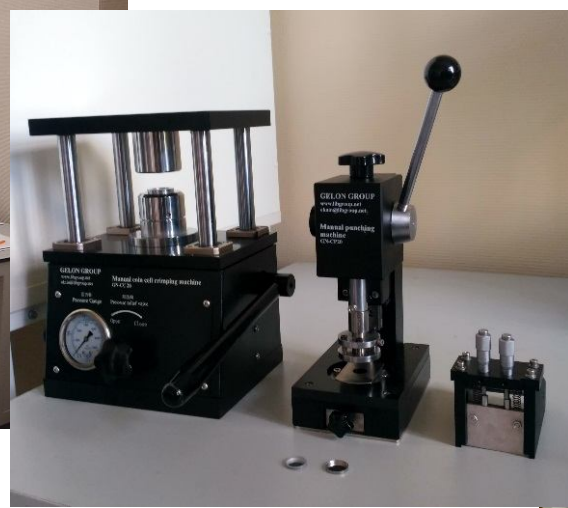
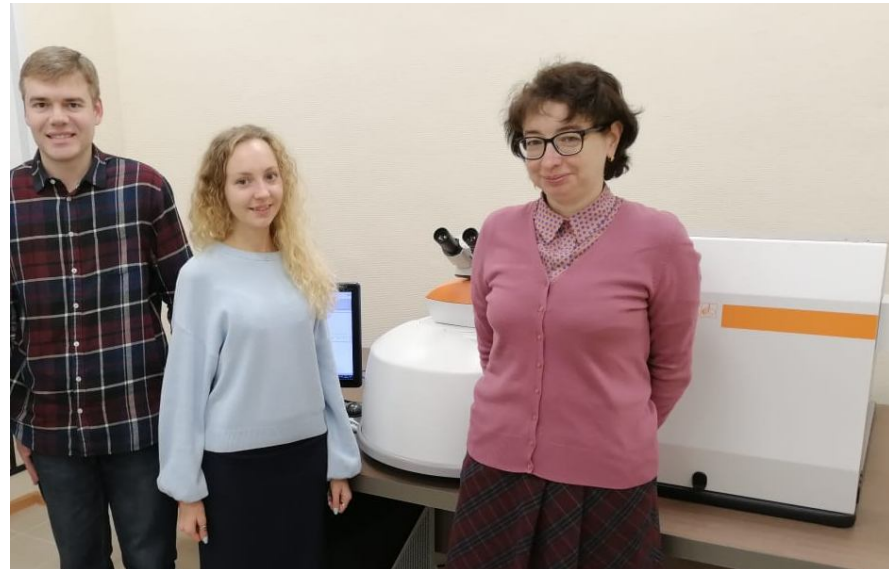
16.12.2019



НАУЧНОЕ ОБОРУДОВАНИЕ



ИНСТИТУТ
ХИМИИ ТВЕРДОГО ТЕЛА
УрО РАН



План приема на 2019 г.

З аспиранта

1. Кошкина Анастасия Александровна, рук. – д.х.н., О.В. Бушкова
2. Бамбуров Александр Дмитриевич, рук. – д.х.н. М.В. Патракеев
3. Маршения Сергей Николаевич, рук. – д.х.н., академик В.Л. Кожевников

Аспирантура



**Выпускница аспирантуры ИХТТ
по программе подготовки
научно-педагогических кадров**



**Онуфриева Татьяна Андреевна,
Руководитель – Т.И. Красненко**

**Список аспирантов на начало 2019 г.
(специальность – Физическая химия)**

№ п/п	ФИО	Дата окончания	руководитель
1.	Медянкина И.С.	30.06.2018	Пасечник Л.А.
2.	Онуфриева Т.А.	31.08.2019	Красненко Т.И.
3.	Попов И.Д.	31.08.2019	Ремпель А.А.
4.	Авдеева Ю.А.	31.10.2020	Ермаков А.Н.
5.	Кандауров М.В.	31.10.2020	Владимирова Е.В.
6.	Политов Б.В.	30.09.2021	Кожевников В.Л.
7.	Скачков А.В.	30.09.2021	Денисова Т.А.
8.	Ульянова Е.С.	30.09.2021	Шалаева Е.В.
9.	Иванова И.В.	31.08.2022	Красненко Т.И.
10.	Калинкин М.О.	31.08.2022	Келлерман Д.Г.
11.	Фаттахова З.А.	31.08.2022	Захарова Г.С.

Совет по защите диссертаций

Кандидатские диссертации

4 апреля 2019 г. - Меркулов Олег Владимирович.

Диссертация «Структурные особенности, равновесие дефектов, ионный и электронный транспорт в сложных оксидах на основе феррита стронция » на соискание ученой степени к.х.н. по специальности 02.00.21- химия твердого тела, выполнена в ИХТТ УрО РАН.

(Приказ Минобрнауки № 758/нк от 30 июля 2019г)

Первый получил диплом нового образца!



26 июня 2019 г. – Кузнецова Юлия Викторовна.

Диссертация «Влияние стабилизирующих оболочек на структурные характеристики и оптические свойства наночастиц сульфида кадмия» на соискание ученой степени к.х.н. по специальности 02.00.04 - физическая химия, выполнена в ИХТТ УрО РАН.

(Приказ Минобрнауки № 1153/нк от 8 декабря 2019г)



18 декабря 2019 г. – Туркин Денис Игоревич.

Диссертация «Синтез, кристаллическая структура и свойства магнитно фruстрированных материалов ABaM₄O₇ (A=Y, Ca; M=Co, Fe, Zn)» на соискание ученой степени к.х.н. по специальности 02.00.21- химия твердого тела, выполнена в ИХТТ УрО РАН.



Выставки

В 2019 г. Институт принял участие в **3** выставках:

- **XII Московский международный салон изобретений и открытий «Архимед 2019»;**
- **Межрегиональная специализированная выставка VIII Уральский горнопромышленный форум «ГОРНОЕ ДЕЛО-Ural Mining, 2019»;**
- **ИННОПРОМ-2019**



**Благодарственные письма
от Администрации г.Екатеринбурга за активное
участие в проведении выставки «Иннопром 2019»**



Премии и награды



Молодежная премия ВОИР-2019»

за разработку «Способ получения нанокристаллического порошка сульфида серебра»— Садовников С.И.



«Бронзовая медаль XXII Московского международного Салона изобретений и инновационных технологий «АРХИМЕД-2019» за разработку «Способ очистки водных растворов от тяжелых металлов и радионуклидов». Патент № 2640244.

Авторы: Волков И.В. , Иошин А.А., Поляков Е.В.



Премия Губернатора Свердловской области

за лучшую работу в области химии твердого тела и электрохимии
«Реакционная активность порошков алюминия, модифицированных
Са, Ва и пентоксидом ванадия»

Еселеевич Д.А.

Диплом победительницы III Областного конкурса «Женский облик в науке»
в номинации «Общественное признание»
Бакланова Я.В.



Диплом победительницы III Областного конкурса «Женский облик в науке» в номинации «Общественное признание»

Бакланова Я.В.

Г.П. Ильин

Стипендии и проекты молодых ученых



- Стипендия Губернатора Свердловской области для аспирантов 2019-2020 гг.
Дорошева И.Б. и Попов И.Д.
- Стипендия Президента и Правительства 2019 для студентов и аспирантов
Политов Б.В.



Проекты РНФ

«Проведение исследований научными группами под руководством молодых ученых»:

Садовников С.И., РНФ № 19-79-10101

Многофункциональные полупроводниковые гетеронаноструктуры на основе наноструктурированных сульфидов цинка и серебра дляnanoфотоники, **2500 тыс.руб**

Сунцов А.Ю., РНФ № 19-79-10147 Фундаментальные основы дизайна новых оксидных материалов с высокой кислородной емкостью для безвоздушного окисления углеводородов, **2500 тыс.руб.**



«Проведение инициативных исследований молодыми учеными»:

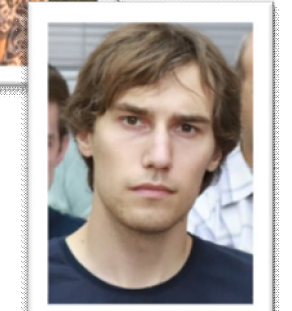
Липина О.А., РНФ № 19-73-00219

Разработка люминесцентных преобразователей температуры на основе германатов, активированных ионами лантаноидов, с целью осуществления бесконтактного Контроля качества работы терmostатирующих устройств, **1500 тыс.руб.**

Проекты РФФИ

Политов Б. В., РФФИ №19-33-90173 Аспиранты

Фундаментальные аспекты дизайна анодных материалов ТОТЭ на основе молибдатов со структурой двойного перовскита, **800 тыс.руб.**



Участие молодежи в конференциях

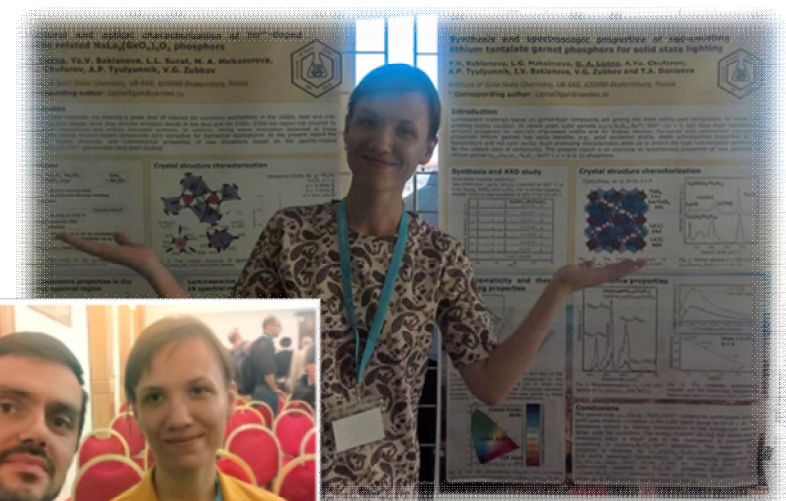
1. Садовников С.И.:
 - Франция, 4-6.03.2019, 4th NanoWorld Conference (NWC Paris-2019)
 - Минск, 21-24.05.2019, International Conference on Physics, Chemistry and Application of Nanostructures Nanomeeting-2019
2. Политов Б.В., Франция, 27-31.05.2018, Spring Meeting of the European Materials Research Society (EMRS-2019)
3. Евщик Е.Ю., Минск, 12-18.05.2018, Международная научно-техническая конференция «Современные электрохимические технологии и оборудование - 2019»
4. Калинкин М.О., Казахстан, 19-23.08.2019, 20th International conference on radiation effects in insulators
5. Сердцев А.В., Польша, 1-6.09.2019, 5th ECCOMAS Young Investigators Conference (YIC2019)
6. Попов И.С., Польша, 16-19.09.2019, 2019 E-MRS Fall Meeting



Константина Е.И.
SSI-22, the 22nd International Conference on Solid State Ionics, PyeongChang, Korea, June 16-21, 2019



III Всероссийская конференция
«Горячие точки химии твердого тела:
от новых идей к новым материалам»,
Новосибирск, 1-5 октября 2019



Леонидов И.И., Липина О.А.:
PRE-2019,
8-th International workshop on
photoluminescence in rare earth,
Nice, France, September 4-6, 2019,

Юбилей. Премии и награды

С.П. Яценко – 13 февраля 2019 г. –

90 лет со дня рождения

6

НАУКА УРАЛА

ФЕВРАЛЬ 2019, № 3

Поздравляем!

ДЕВЯТЬ ДЕСЯТИЛЕТИЙ ПРОФЕССОРА ЯЦЕНКО

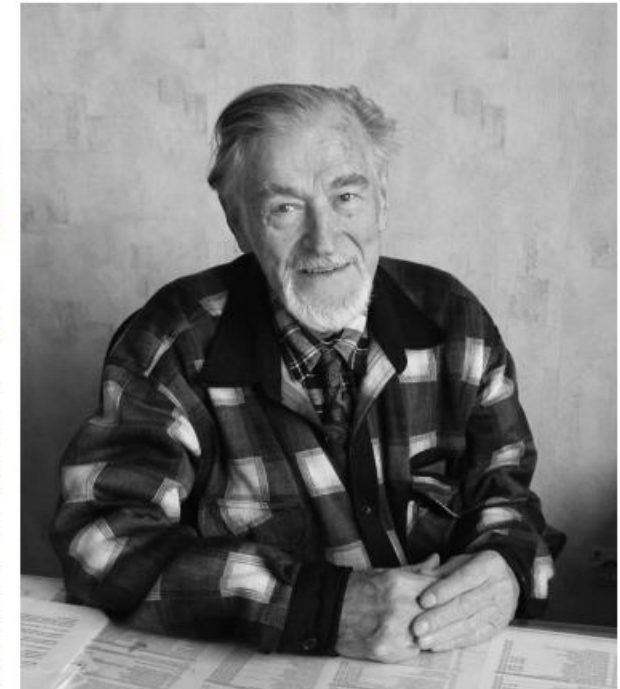
уже сообщали, в конце прошлого года коллектив авторов из Института химического тела УрО РАН под руководством профессора С.П. Яценко удостоен национальной экологической премии имени В.И. Вернадского в номинации «Наука для жизни». А на днях Сергею Павловичу Яценко исполнилось 90 лет. Эти два события послужили поводом, чтобы рассказать о его жизни и встретиться с ним.

лович подростком поделился с Отечеством, дважды (в дахах) попадал в плен, так как отец был военнопленным, и семья переехала в этот город. Осенью 1943 года семья вернулась в Воронеж, а в 1945 году переехала в этот город. В 1948 году Яценко окончил в мужскую школу и с одноклассниками поступил в Уральский политехнический институт в Екатеринбург.

война, на пороге были угрозы ядерного нападения на нашу страну. Надо было создавать ядерное оружие. В институте НИИ-9 Яценко работал на установке в лаборатории З.В. Ершовой, где использовался полоний для создания взрывателя ядерных устройств на основе облучения бериллия альфа-частицами полония. И мне интересно было пойти в институт. В Озёрске Яценко стал начальником лаборатории №2 (вскрытий урановых

окон защищает нас от недругов. А что вас волнует сегодня?

— Экология. Посмотрите, что мы сделали с окружающей средой! Миллионы тонн отходов различных производств отравляют все вокруг. Например, в отвалах переработки боксита содержится до 20 процентов глинозема. А у нас есть технологии, с помощью которых его можно извлекать. В красном шламе содержится до 45 процентов оксидов железа, и технологии



Поздравляем профессора Яценко с 90-летием! Он награжден знаком отличия "За заслуги перед Свердловской областью" III степени. Указ № 361-УГ от 24.07.2019 г.



Сотрудники ИХТТ, ушедшие в 2019 г.



ИНСТИТУТ
ХИМИИ ТВЕРДОГО ТЕЛА
УрО РАН



Г.П. Швейкин
И.В. Николаенко
И.А. Панкова
И.И. Подрезова
Р.П. Стяжкина
М.В. Булатов
М.П. Цветкова
И.Г. Чуфарова
Г.М. Рубинштейн
И.А. Ульянова